

" " "

### عبد الرحمن السفرجلاني - صبحي نصره - ميخائيل معطي ♦♦♦

قسم الأراضي والمياه - كلية العلوم الزراعية والأغذية - جامعة الملك فيصل  
الأحساء - المملكة العربية السعودية  
♦ قسم الجيولوجيا - كلية العلوم - جامعة قطر - الدوحة - قطر  
♦♦ قسم الجيولوجيا - كلية العلوم - جامعة دمشق - دمشق - الجمهورية العربية السورية

#### الملخص :

يتراافق مع البازلت القلوي العائد لعصرى النيوجين والرباعي ومنتشر في الجزء الشمالي الشرقي لحقن شامة البركانى (جنوب غرب سوريا) كمية كبيرة من الحشوات ذات التراكيب القاعدية وفوق القاعدية (Xenoliths) إضافة للبلورات الفلزية النامية الكبيرة (Megacrysts)، و تعود أهمية دراسة هذه الحشوات أنها تسهم في معرفة طبيعة ليتوسفير الجزء الشمالي للصفيحة العربية (سوريا).

أظهرت الدراسة البترографية و الجيوكيميائية للحشوات تنوعاً بتروлогياً كبيراً أظهر معه شروط توازن لأوساط تشكيل متباينة تعود إما للجزء السفلي من القشرة الأرضية أو للجزء العلوي من المعطف الأرضي، كما دلت دراسة المجموع الفلزى للحشوات وكذلك اختبار بعض الجيوتيرموباروميترات على شروط توازن لحشوات الجزء العلوي من المعطف الأرضي الليزوليتية و البيروكسينيتية والتي تتراوح بين ١٣,٥ - ١٤,٥ كيلobar للضغط و ٩٥٠ - ١٠٦٠ م° للحرارة ، أما شروط تشكيل حشوات الجزء السفلي للقشرة الأرضية الغابروئيدية فتتراوح بين ٦ - ٨ كيلو بار للضغط و ٨٥٠ - ٩٢٠ م° للحرارة .

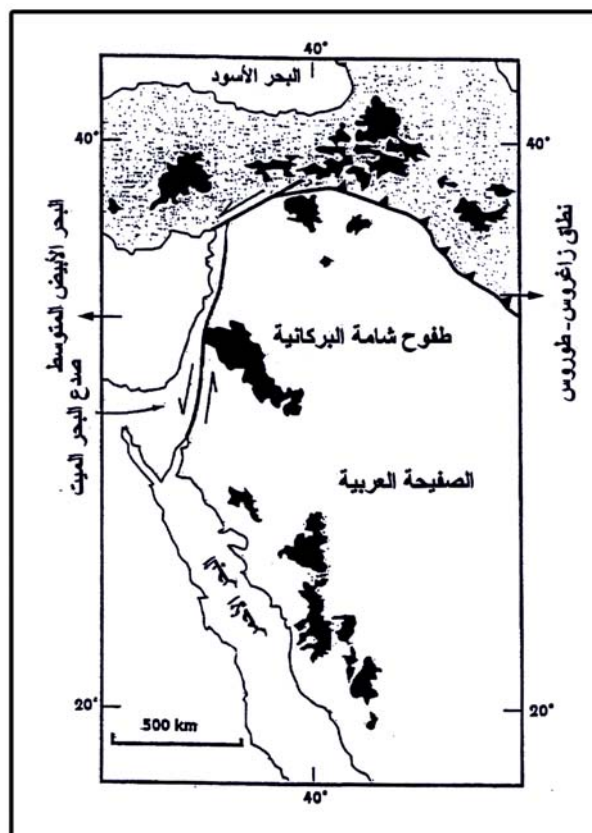
### مقدمة و هدف البحث :

تعتبر دراسة الحشوات المتشكلة في الجزء السفلي للقشرة الأرضية و الجزء العلوي من المعطف الأرضي من المواضيع الهامة التي شغلت الكثير من العلماء والباحثين وأصبحت موضع اهتمامهم بسبب مساهمة هذه الحشوات في تقديم صورة واضحة حول طبيعة أسفل القشرة الأرضية والمعطف العلوي ، حيث قدمت الدراسة الدقيقة البتروغرافية - الجيوكيميائية و البترولوجية للحشوات معلومات هامة حول طبيعة الليتوسفير و شكل تطور المادة المهلية البازلتية التركيب المتشكلة في المعطف ، كما يمكن أن تقدم أدلة حقيقة مباشرة لتركيب الجزء السفلي للقشرة الأرضية ولالجزء العلوي للمعطف الأرضي . إن معرفة مجمل هذه التراكيب هو أمر ضروري لفهم الطواهر و البنيات الجيولوجية ذات المقاييس الإقليمي الكبير.

تمتد الانسكابات و الصبات البركانية البازلتية القلوية التركيب الثلاثية والرباعية العمر (Harrats) الحرات في الصفيحة العربية مسافة ٢٨٠٠ كم (McGuire,1988 a ; b) من اليمن جنوباً عبر المملكة العربية السعودية فالاردن ثم سوريا وتركيا شمالاً (شكل - ١) ، هذا و يرتبط النشاط البركاني في المنطقة بحركة الصفيحة العربية التي سببت بتشكيل الانهدامات الإقليمية لا سيما انهدام البحر الأحمر والصدع التحولي المشرقي الممتد من خليج العقبة جنوباً حتى جبال الأمانوس شمالاً (Dutria and Girod,1987).

تحتل الانسكابات البركانية البازلتية القلوية مساحة تقارب الـ ١٨٠٠٠ كم<sup>٢</sup> (Coleman et al.1983) ، و يعتبر إقليم حرات الشام المتمرکز في الجزء الشمالي الغربي للصفيحة العربية من أكبر الاندفادات البركانية القلوية انتشاراً والممتد من جنوب غرب سوريا (منخفض جبل العرب) عبر الأردن (منطقة الأزرق) حتى (وادي سرحان) في شمال غرب المملكة العربية السعودية ، وتبعد مساحتها حوالي الـ

ـ ٥٠٠٠ كم<sup>٣</sup>. هذا و يعتبر منخفض جبل العرب الجزء الأهم لهذا الإقليم ومنطقة تراكم رئيسة للانسكابات البازلتية حيث تتراوح سماكتها في الجزء المركزي من المنخفض بين ١-١,٥ كم. كما وتقدر البراكين التي ساهمت في تشكيل هذه التوضعات البازلتية بأربعين بركان (Ponikarov, 1962) تنتشر على طول كسور فالقية عميقة ذات اتجاه شمال غرب - جنوب شرق (Quennell, 1996).



شكل (١) : يبين توزع أهم الانسكابات و الصبات البركانية السينيوزية في الصفيحة العربية ، مأخوذة من (Medaris and Syada, 1999).

بين (Camp and Roobol, 1992) أن بداية النشاط البركاني في منطقة جبل العرب تعود إلى ٣٢ مليون سنة أي للعصر الميوسيني الأوسط والذي استمر حتى بداية التاريخ الإنساني الحالي، كما بينت بعض الدراسات مثل: ; (Camp et al., 1991) (McGuire, 1988 a ; b) أن أغلب الانسكابات البركانية البازلتية تدفقت خلال العشرة ملايين سنة الأخيرة.

أشارت عمليات المسح الجيولوجي للانسكابات البركانية البازلتية القلوية التركيب المنتشرة ضمن الصفيحة العربية إلى ترافق عدد كبير من براكيينها مع الحشوات والميغاكريست (Nasir and Al-Fuqha, 1988); (McGuire, 1988a;b); (Abu Al-Jarayesh et al., 1993); (Coleman et al. 1983); (Nasir and Safarjalani, 2000); (Nasir and Safarjalani, 1995); (Nasir et al., 1992) مفصلة للحشوات المرافقة للصخور البازلتية المنتشرة في المملكة العربية السعودية والأردن (McGuire, 1988 a; b) ; (Nasir, 1990 ; 1992;1994;1995) (Henjes- Knust et al., 1990) في حين أنه لم يكن هناك إلا دراسات محدودة في سوريا نذكر منها: ; (Medaris and Syada, 1998;1999) (Nasir et al., 1993) ; (Nasir and Mahmood, 1991) (Safarjalani and Nasir, 1996) ; (Turkmani et al., 1996) ; (Snyder et al., 1995) ; (Syada et al., 1996) ;

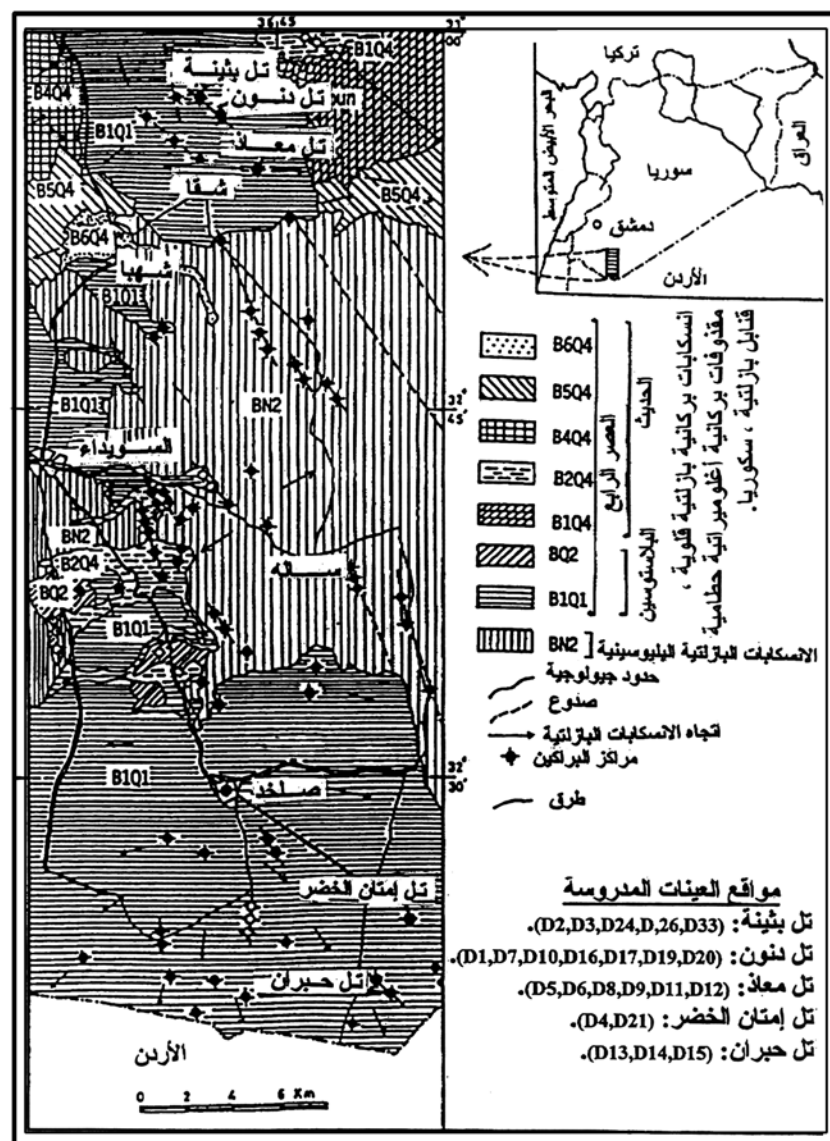
حددت عمليات المسح الجيولوجي لمنطقة جبل العرب ; (Syada et al., 1996) حشوات المقلعة من الجزء السفلي من القشرة أو من الجزء العلوي للمعطف الأرضي والميغاكريست مثل: "تل دنون - تل بثينة - تل فأرة - تل معاذ - تل الخالدية - تل الأشعاع - تل خنفة - تل قليبة - تل العرجي - تل أحمر - صلخد - تل خضر إمتنان - تل العجيلات - تل حبران". ويتواجد أغلبها برفقة الصخور البازلتية القلوية حديثة العمر > ٥ مليون سنة (Medaris and Syada, 1999).

تمثل هذه الورقة نتائج الدراسة البترографية و الجيوكيميائية لمجموعة من الحشوات المتشكلة في الجزء السفلي للقشرة الأرضية وتلك المتشكلة في الجزء العلوي من المعطف الأرضي والمرافقة للبازلت القلوي العائد للعصر الرباعي والمتكشف في كل من تل دنون، تل بثينة، تل معاذ، تل خضر إمتنان و تل حبران من المنطقة الجنوبية الغربية لسوريا (شكل ٢-).

#### جيولوجية المنطقة :

تقع سوريا في الجزء الشمالي الغربي للصفيحة العربية و تقسم إلى مجموعة من الوحدات البنوية - التكتونية الرئيسة التالية: يقع في الجزء الجنوبي الغربي لسوريا منخفض جبل العرب الذي يمتلئ ببازلت النيوجين والرباعي و في الشمال نجد نهوض هضبة حلب وفي الجنوب الشرقي نهوض الرطبة و في أواسط البلاد يمكن تمييز حزام الطي التدمري وفي الشمال الشرقي منخفض الفرات بينما يتواجد حزام الطي التدمري الإنغراسي ضمن القاري محشوراً بين نهوض هضبة حلب في الشمال ونهوض الرطبة في الجنوب متحدداً مع نظام فالق البحر الميت في الاتجاه الجنوبي الغربي و ينتهي قرب منخفض الفرات في الاتجاه الشمالي الشرقي (Seber et al. 1993).

تم تقسيم بازلت الجزء الجنوبي لسوريا إلى أربعة وحدات بركانية منفصلة: ميوسينيه - بليوسينيه و رباعية مع أنها لا تختلف كثيراً في الخصائص البتروكيميائية و البترографية (Ponikarov, 1962)، هذا و تغطي الانسكابات البازلتية كل من الصخور الرسوبيّة الكريتاسية - الثلاثية و الرباعية (Mouty et al., 1992).



## شكل ٢ : خارطة جيولوجية تبين موقع العينات المدرستة

يرجع كل من (Poinkarov, 1967); (Barberi et al., 1980); (Camp and Roobol, 1989) الحدث البركاني في سوريا غالباً إلى طورين كما هو الحال تماماً لمظاهر البركانة المشاهدة في باقي أجزاء المنطقة مثل الأردن ، فلسطين ، والملكة العربية السعودية . يمتد الطور الأول في الفترة الواقعة بين ٢٤ - ١٦ مليون سنة ، بينما يمتد الطور الثاني بين ٤٠ - ٨ مليون سنة (Capan et al., 1987).

تترافق معظم الصبات الثلاثية والرباعية مع تنوع كبير ومتباين من الحشوات ذات التركيب القاعدي وفوق القاعدي والتي تعود بتشكيلها إما إلى الجزء العلوي من المعطف أو للجزء السفلي للقشرة الأرضية (Turkmani et al., 1996) وتمثل الصخور المهلية المضيفة لهذه الحشوات صخوراً بازلية أوليفينية إلى بازلية قلوية الطبيعة (Mouty, et al., 1992).

#### المواد و طرائق البحث:

تم جمع ١٥ عينة حشو اشتملت على ١٢٠ حشو فوق قاعدية ليزوليتية بيروكسينيتية التركيب و ٣٠ حشو قاعدية غابروئيدية التركيب من الواقع البركاني الخمسة المدرستة (شكل - ٢) ، اختير منها ٢٣ حشو غير متحللة أو متآكسدة (طازجة) خصصت للدراستين البتروغرافية و الجيوكيميائية.

أنجزت الدراسة البتروغرافية باستخدام المجهر الاستقطابي الموصول مباشرة بجهاز التعداد الفلزي المخصص لحساب التركيب الفلزي الحقيقي (Modal analyses) وذلك باتباع طريقة العد النقطي "تم تحديد المسافة بين نقطة وأخرى حسب الأبعاد الوسطية للحبيبات الفلزية لكل عينة".

تم تحليل المكونات الفلزية الرئيسية بتقنية مجهر المسح الإلكتروني (الميكروبروب - نوع SU-30) وباستخدام طريقة الموجات الطولية المشتتة (في قسم الأراضي و علوم البيئة التابع لجامعة اليرموك - الأردن)، بلغ زمن التحليل الكلي ١٠ ثانية لكل قياس

نقطي باستعمال تيار كهربائي توتره ١٨ كيلوفولط وشدة ١٠ نانوأمبير ، كما أجريت على كافة نتائج التحليل تصحيحات وذلك باستخدام برنامج (ZAF) ، تمثل كل نتيجة تحليل متوسط ثلاثة نتائج قياس تحليل نقطية على الأقل.

تم تحديد المحتوى الكلي للحشوات من العناصر الكيميائية الرئيسية والشحيحة بواسطة تقنية جهاز الأشعة السينية (XRF) باشتاء عنصر Na فقد تم تقديمه بواسطة جهاز الامتصاص الذري (AAS) . حددت نسبة بعض العناصر النادرة بواسطة جهاز مقاييس الكتلة الذري يعمل بواسطة البلازماء المحرضة (ARL - 3410, ICP - MS) التابع لجامعة الموارد الطبيعية في الأردن. تم تحليل ثلاث عينات معيارية مرجعية أخذت من هيئة المساحة الجيولوجية الأمريكية من أجل التأكد من نتائج التحليل ، وقد تراوحت دقة التحليل للعناصر الكيميائية الرئيسية والشحيحة بين ٦ - ٤٪.

#### **الدراسة بتروغرافية للحشوات :**

تتوارد الحشوات الصخرية القاعدية وفوق القاعدية في أغلب الأطوار البركانية خاصة الأغلوميراتية منها وتنشر على جوانب القمم والتلال البركانية ومنحدراتها وتأخذ معظم الحشوات أشكالاً شبه كروية إلى بيضاوية متطاولة ، زاوية مسطحة أو غير منتظمة ، متائلة الحواف غالباً و تتراوح أقطارها بين ٢ - ٣٠ سم. لوحظ وجود علاقة بين أبعاد مقاييس الحشوات و درجة تفاصلها ، فالخشوات الليزوليتيية هي الأكبر و تصل أقطارها إلى ٢٥ سم بينما لا تزيد أبعاد الحشوات البيروكسيديتية عن ٨ سم .

تشاهد الحشوات حرة سائبة أو مغلفة بطبقة رقيقة من البازلت ، أو تشكل أحياناً نوى للقنابل البازلتية . تتميز الحشوات عموماً بنسيج كتلي إلا أنها تبدي تنوعاً و تبايناً في بنياتها فبعضها يتميز بنية نارية أولية أو متساوية الحبيبية والأخر يتميز بنية بورفيриة إلى بورفيروكللاستية. تمثل الحشوات المنتشرة في المنطقة أنواعاً متباعدة ،

قُسّمت اعتماداً على محتواها الفلزية أو بنيتها ونسيجها إلى خمسة مجموعات رئيسية هي:

- مجموعة الديوبسيد الكروملي البيرزوليتي : حسب تصنيف (Wilshair and Shervais,1975) و تقابل المجموعة I حسب (Frey and Prinz,1978) ، تتراوح نسبة تواجد حشوات هذه المجموعة بين ٦٥ - ٧٠٪ ، يحتوي معظمها على فلز الفلوغوبيت أولي أو ثانوي التشكيل مع أو بدون ترافق لفلز الهرنبند و تتميز بنية بروتوفرانولييرية (حبيبي أولي) إلى إيكوفرانولييرية. تتألف حشوات هذه المجموعة من الفلزات الرئيسية التالية : أوليفين - كلينوبيروكسین - أورثوبيروكسین - سبینیل بني (بيكوتيت) و ينتمي إليها الدونيت ، البيرزولييت ، الهارتزبورجييت و الويرليت.
- مجموعة الأوجيت الألوميني - التيتاني : حسب تصنيف (Wilshair and Shervais,1975) و تقابل المجموعة II حسب (Frey and Prinz,1978) ، تتغير نسبة تواجد حشوات هذه المجموعة بالنسبة للمجموعات الأخرى و تشكل وسطياً نسبة ٢٥٪ . ينتمي لهذه المجموعة حشوات الوبيستريت و البيروكسینيت و تتميز عادة بترافقها مع فلز السبینیل الأسود أو الأخضر (الهرسينيت) وأحياناً فلز الغارنت.
- مجموعة الميتاپيروكسینيت : ينتمي إلى هذه المجموعة الحشوات من نوع سبینیل بيروكسینيت و الغارنت بيروكسینيت و تتميز هذه المجموعة عادة بنسيج اندفاعي ، تحتوي على فلز السبینیل كما تتميز بوجود ظواهر فجوات انحلالية لفلز الغارنت أو بعمليات انحلال فلز الأورثوبيروكسین ضمن فلز الكلينوبيروكسین و تشكيل شرائط انحلال .
- مجموعة البلورات الكبيرة (الميفاكريست) : تتميز هذه المجموعة غالباً بافتقارها للكروم و تضم كل من فلز الغارنت من نوع البيروب ، الأوجيت ، الكيرسوتيت ، الإيلمينيت ، السبینیل والأوليفين .

- مجموعة حشوات أسفل القشرة : تضم هذه المجموعة حشوات الغرانوليت البيروكسيني و حشوات مجموعة الغابرو و الدولوريت ، تتراوح نسبة تواجد حشوات هذه المجموعة بين ٥ - .٪٨.

يبين الجدول (١) المحتوى الفلزى الحقيقى للعينات المدروسة ، ويظهر أن هذه العينات تعود لثلاثة أنماط حشوية متباعدة من حيث التركيب الفلزى والطبيعة والخصائص و التي تعكس ظروف منشئيه مختلفة.

### **بتروغرافيا حشوات المعطف العلوي (خشوات البيريودوتيت السبينيلي و خشوات البيروكسينيت):**

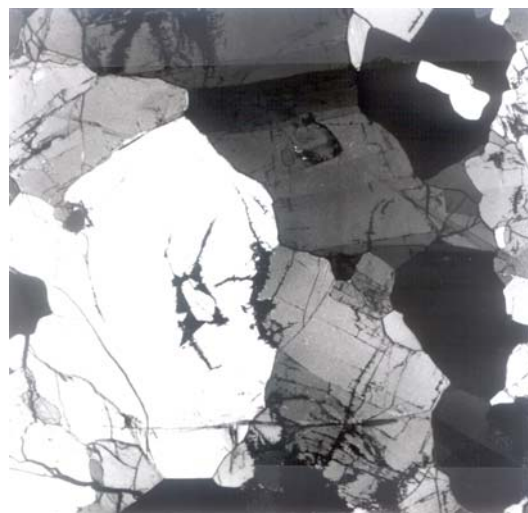
تميز حشوات البيريودوتيت السبينيلي ببنيات أولية بروتوغرانولارية وأحياناً نارية أولية أو متساوية الحبيبية (شكل - ٣ و ٤) ، بينما تمتلك الحشوات البيروكسينيتية نوعين من البنيات هما : البورفiroوكلاستية و هي الأكثر شيوعاً و تبدي فيها جميع الحبيبات الفلزية تشوهات بدرجات متفاوتة و البنية الغرانولارية الحبيبية و هي الأقل انتشاراً (شكل ٥). تتألف حشوات المعطف العلوي بشكل رئيس من الفلزات الرئيسية التالية: الأوليفين ، الكلينو بيروكسين (البيروكسين المائل) و الأولوثيروبوكسين (البيروكسين المستقيم) إضافة إلى السبينيل و الفلوجوبيت و الورنبند كفلزات ثانوية.

### جدول (١)

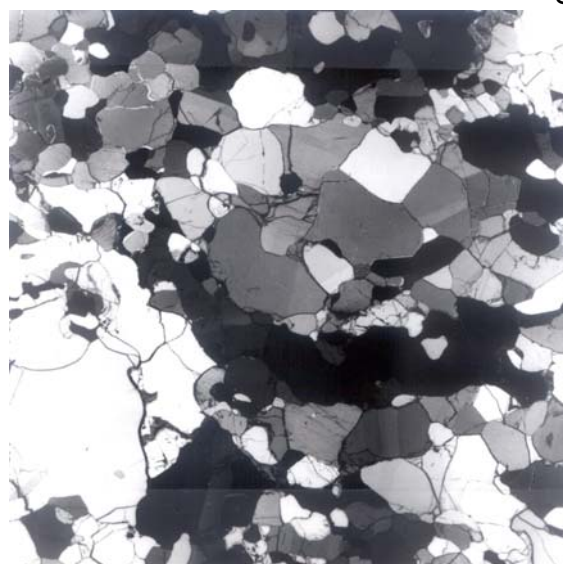
#### التركيب الفلزى العياري للحسوات الصخرية القاعدية وفوق القاعدية المدروسة

Samp	Loca.	Typ.	Texture	Oli.	CPx .	Opx .	Spl.	Gar.	Plag.	Phl.+hbl	Mag.
D01	تل دنون	Pyx.	Porph.	28	60	08	02	02	-	+	+
D02	تل بشنة	Pyx.	Porph.	35	55	06	+	04	-	+	+
D03	تل بشنة	Pyx.	Porph.	16	67	03	10	+	-	04	+
D04	تل امتنان	Pyx.	Porph.	26	69	02	+	+	-	03	+
D05	تل معاذ	Pyx.	Igneo.	40	54	03	+	03	-	+	+
D06	تل معاذ	Pyx.	Igneo.	30	55	10	+	03	-	+	02
D07	تل دنون	Pyx.	Porph.	65	24	05	04	+	-	+	+
D11	تل معاذ	Pyx.	Porph.	43	50	05	02	+	-	02	+
D12	تل معاذ	Pyx.	Porph.	32	58	06	02	-	-	-	02
D08	تل معاذ	Lhz.	Equig.	65	06	26	03	-	-	-	+
D09	تل معاذ	Lhz.	Equig.	68	05	25	02	-	-	-	+
D10	تل دنون	Lhz.	Equig.	55	13	28	04	-	-	-	+
D13	تل حبران	Lhz.	Protog.	55	17	18	02	-	-	06	02
D14	تل حبران	Lhz.	Protog.	58	20	18	03	-	-	+	01
D15	تل حبران	Lhz.	Protog.	50	25	20	05	-	-	-	+
D16	تل دنون	Lhz.	Protog.	55	18	18	04	-	-	02	03
D17	تل دنون	Lhz.	Protog.	54	06	37	02	-	-	01	+
D21	تل امتنان	Lhz.	Protog.	66	14	13	03	-	-	02	02
D19	تل دنون	Lcx.	Equig.	-	40	17	-	-	40	+	03
D20	تل دنون	Lcx.	Equig.	-	40	15	+	-	42	+	03
D24	تل بشنة	Lcx.	Equig.	-	30	12	+	-	55	+	03
D26	تل بشنة	Lcx.	Equig.	-	15	20	-	-	60	+	05
D33	تل بشنة	Lcx.	Equig.	-	35	15	+	-	48	+	02

العينة Samp. : العينة ، Loca. : الموقع ، Typ. : المجموعة ، Pyx. : حشوات البيروكسيديت ، Lhz. : حشوات البيرزوليت ، Lcx. : حشوات أسفل القشرة الأرضية ، Oli. : أوليفين ، CPx. : كلينوبيروكسین ، Opx. : أورثوبيروكسین ، Spl. : سبينيل ، Gar. : غارنت ، Mag. : هورنبلند ، Hbl. : ماغنيت ، Text. : النسيج ، Phl. : فلوجوبيت ، (+) > ٣٪



شكل ٣ : حشوة ليروزوليت سبيينيلي ، بنية متساوية الحببية ، عينة D-9 ، تكبير X8 ، مع محلل(+) .



شكل ٤ : حشوة ليروزوليت سبيينيلي ، بنية متساوية الحببية ، عينة D-10 ، تكبير X8 ، مع محلل(+) .

يظهر فلز الأوليفين في حشوات البيريودوتيت السبينيلي على شكل بلورات وجهيه إلى تحت وجهيه قليل الفساد و تتراوح أقطار حبيباته بين ٥-٥٤ مم و نسبته بين ٥٤-٦٨٪ ويشكل وسطياً ٥٨٪ كما تتراوح نسبة الفورستريت به بين ٨٥-٩٢٪ تتناقص نسبة تواجد الأوليفين في الحشوات البيروكسينية حيث تتراوح بين ١٦-٦٥٪ ويشكل وسطياً ٣٥٪ كما أن نسبة الفورستريت تتراوح به بين ٧٤-٩٠٪.

تبادر نسب تواجد كل من فلزي الكلينو بيروكسين والأورثوبيروكسين وذلك تبعاً للنمط البترولوجي للحشوة ويشكل عام تواجد حبيبات فلز الكلينو بيروكسين الخضراء الباهته على هيئة بلورات تحت وجهية غير متحلة تبدي تعدد لوني ضعيف يتراوح من الأخضر الشاحب إلى عديم اللون ، وسطوح انفصام تامة تتراوح أبعادها بين ٠،٥-٢ مم وهي غالباً من نوع الديوبسيد ، تتراوح نسبة تواجده في الحشوات الليرزوليتيه بين ٥-٢٥٪ ويشكل وسطياً ١٤٪ ، في حين أن نسبتها تتزايد في الحشوات البيروكسينية حيث تتراوح هنا في مجال كبير ٤٦٩-٥٥٪ وتشكل وسطياً .  
يتواجد فلز الأوليفين على شكل بلورات وجهية إلى تحت وجهية تتراوح أبعادها بين ٠،٥-٣ مم غير فاسدة غالباً وتميز بسطوح انفصام مكتملة تتراوح نسبة تواجده في الحشوات الليرزوليتيه بين ١٣-٣٧٪ و تبلغ وسطياً ٢٢٪، يتناقص في الحشوات البيروكسينية حيث تتراوح نسبته ٢-١٠٪ وتبلغ وسطياً ٥٪.

عند إسقاط التركيب الفلزي الحقيقي لحشوات المعرف العلوي على المخطط التصنيفي OPx-OI-CPx (Streckeisen, 1976) نجد أنها تنتشر في القطاعات المخصصة للصخور الليرزوليتيه والصخور البيروكسينية (شكل ٦).

يشاهد فلز السبينيل في جميع الحشوات المدروسة كفلز ثانوي يتوضع بين المكونات الفلزية الرئيسية الأخرى، تبدي حبيباته الناعمة شكلاً كسينومورفياً تأخذ في الحشوات الليرزوليتيه ألواناً بنية (بيكوتيت) بينما تأخذ عند تواجدها في الحشوات

البيروكسينيتية ألواناً خضراء زيتية (هرسينيت) ، تتراوح نسبة تواجده بين  $> 0,3\%$  -  $10\%$  ويشكل وسطياً حوالي  $3\%$ .

شوهد فلز الهرنباند البني - البرتقالي المصفر في بعض الحشوات، يظهر تعداداً لونياً واضحًا يتراوح بين البني القاتم والبرتقالي المصفر وتتراوح نسبته بين  $> 0,3 - 6\%$  ويشكل وسطياً  $1,2\%$  من الحجم الكلي.

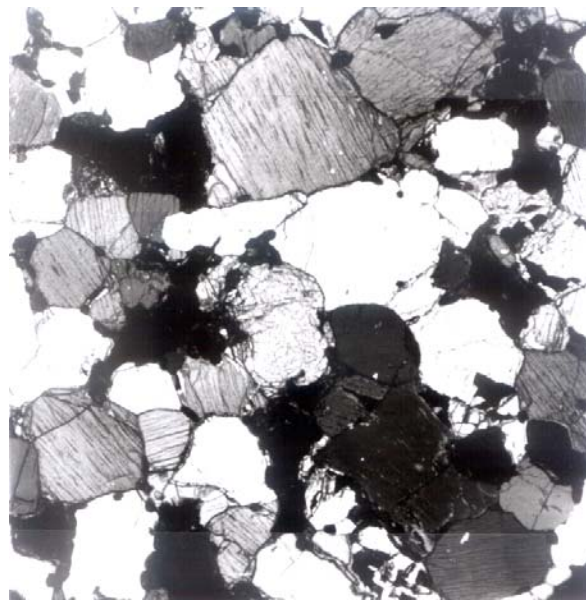
#### **بتروغرافيا حشوات أسفل القشرة الأرضية:**

تساهم حشوات أسفل القشرة الأرضية بتقديم معلومات هامة تعكس طبيعة

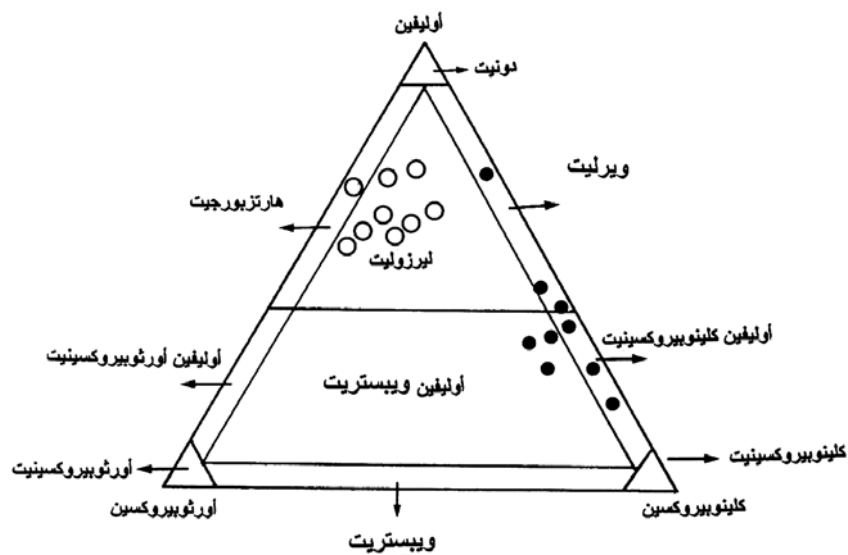
تركيب وبنية القشرة الأرضية: (Rudnick, 1992) ; (Stosch et al., 1986) ; (Griffin and O'Reilly, 1987) ; (Dostal et al. 1980) ; (Selverston and Stern, 1983) ; (Rudnick et al., 1986) ; (Griffin et al., 1987a;b) ; (Kay and Kay, 1981) ; (Okrusch, et al., 1979) ; (Dodge et al., 1986) ; (Loock et al., 1990) (Downes et al., 1990)

تبعد جميع الحشوات المدروسة مسطحة الحواف مستديرة إلى تحت زاوية ومتاكلة الجوانب ، تتراوح أبعاد قطراتها بين ٢ - ٨ سم ، وتبدى تتضداً غنائياً بمقاييس ميلي متريه مع بنية غرانوبلاستية واضحة (شكل ٧-) ، تظهر معظم الحشوات تقريباً نسيجاً غرانوليتياً متساوي الحبيبية وأحياناً نسيجاً تراكميأً ينتج من تجمع بقايا بلورات زاوية من الأورثوبيرووكسین تحيط ببلورات نامية موزائيكية البنية من البلاجيوكلاز.

تتألف حشوات أسفل القشرة الأرضية من الفلزات الرئيسية التالي : كلينوبيرووكسین، أورثوبيرووكسین و بلاجيوكلاز إضافة إلى فلزات : الماغنيت، الإيلمنيت وأحياناً الكروميت، الروتيل، الأباتيت و السبينيل الأخضر (هرسينيت) كفلزات ثانوية، بعض الحشوات تحتوي على كميات ضئيلة ومحددة من الزجاج



شكل ٥ : حشوة بيروكسينيت، بنية حبيبية ، عينة D-2، تكبير X16 ، مع محلل(+) .



شكل ٦ : المخطط التصنيفي OPx-Ol-CPx لتصنيف حشوat المعطف العلوي

(البيروكسينيت و الليزوليت) (Streckeisen, 1976).

البركاني الأصفر يتمركز غالباً على طول حدود الحبات الفلزية ويحيط غالباً بفلز البيروكسين كما يبدي هالات تفاعل قاتمة سوداء، تتميز حشوات أسفل القشرة عادة عن حشوات المعطف العلوي باحتفاء فلز الأوليفين والغارنت وإن تواجدًا فعلى شكل فلزات ثانوية وبنسبة محددة.

تتراوح نسبة فلز الكلينوبيروكسین بين ٤٠ - ١٥٪ ويشكل وسطياً ٣٢٪ بينما تتراوح نسبة فلز الأورثوبيروكسین بين ٢٠ - ١٢٪ ويشكل وسطياً ١٦٪ من الحجم الكلي للحشوة ، في حين تتراوح نسبة البلاجيوكلاز بين ٦٠ - ٤٠٪ ويشكل وسطياً حوالي ٥٠٪ من تركيب الحشوة الفلزي ، كما تتفاوت نسبة الأنورتيت في البلاجيوكلاز بين ٧٥ - ٥٥٪ ، وتتراوح نسبة تواجد الفلزات المعدنية بين ٢ - ٥٪ وتشكل وسطياً حوالي ٣٪. لوحظ في العديد من الحشوات القشرية ظاهرة تناوب في التوزع الفلزي للبيروكسین والبلاجيوكلاز يظهر على شكل أشرطة ميلي متربة ١-٢مم سوداء إلى بنية قاتمة (غنية بالبيروكسین) تتناوب مع أشرطة أخرى فاتحة اللون بيضاء إلى زهرية (غنية بالبلاجيوكلاز). نجد عند إسقاط هذه العينات على المخطط ثلاثي الرؤوس Pg - OI - Streckeisen, 1976 أنها ذات تركيب قاعدي غابروئيدي (شكل - ٨).

#### **التركيب الكيميائي للفلزات المدروسة :**

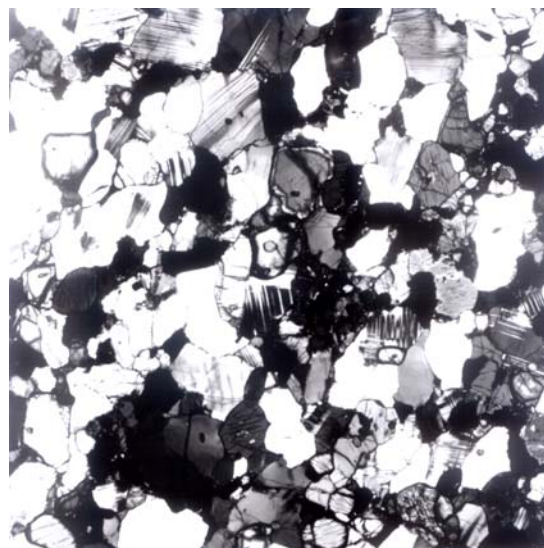
تم تحويل جميع القياسات النقطية لكل فلز من الفلزات المدروسة (الأوليفين ، الأورثوبيروكسین ، الكلينوبيروكسین ، الغارنت ، السبينل و البلاجيوكلاز) إلى قيم أوكسيدية بالنسبة المئوية ومن ثم إلى مقادير كاتيونية موزعة طبقاً للصيغة الكيميائية للبنية البلورية لفلز البلاجيوكلاز على أساس ثمانية ذرات من الأوكسجين و على أساس أربع ذرات أوكسجين بالنسبة للبنية البلورية لفلز السبينل

والأولييفين وست درات أوكسجين بالنسبة للبنية البلورية لفلزي الأورثوبiroوكسين والكلينوبiroوكسين وذلك باستخدام برنامج حاسوبي.

أوضحت نتائج التركيب الكيميائي لفلزات حشوات أسفل القشرة الأرضية وحشوات المعطف العلوي المدروسة تشابهاً كبيراً مع التراكيب الكيميائية لفلزات حشوات البراكين والانسكابات البركانية الأخرى في سوريا (Medaris and Nasir, 1992; 1995) وحشواتالأردن (Syada, 1998; 1999) والمملكة العربية السعودية (Camp et al., 1991) ; (Camp and Roobol, 1992); (McGuire, 1988 a,b) بالخصائص التالية:

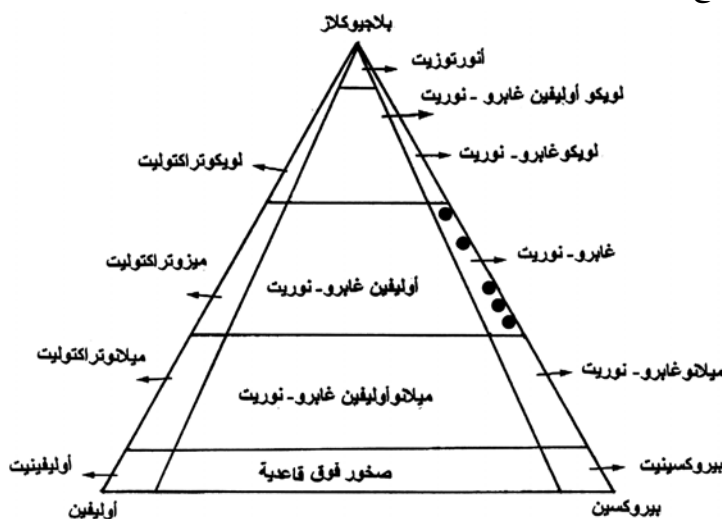
**الأولييفين :** يتميز فلز الأوليفين المتواجد في الحشوات الليرزوليتية (D-8,D-10,D-13,D-15,D-21) بارتفاع نسبة المغنيزيوم تتراوح بين ٤٥,٦٦ - ٤٩,٨٥ ، كما تتراوح نسب مركباته الرئيسية في المجال (Fo<sub>86.2-90.3</sub>-Fa<sub>9.4-13.5</sub>) ، يبلغ متوسط محتواه من أوكسيد الكالسيوم كنسبة وزنية ١٣٪ ، كما يتراوح الرقم المغنيزي (X<sub>Mg</sub>) بين ٨٦.٥-٩٠.٥ ، حيث [X<sub>Mg</sub> = (100. MgO/(MgO+FeO))] تتراوح قيم أوكسيد النيكل كنسبة وزنية بين ٠,٤٤ - ٠,٥٧٪ وتشكل قيمة وسطية ٠,٥٢٪ وهي قيمة مرتفعة نسبياً عن الحشوات البيريدوتية المحددة من مناطق مختلفة من العالم (Wedepohl, 1975);(Franz et al., 1997).

**الأورثوبiroوكسين (البيرووكسين المستقيم) :** يتميز أيضاً بارتفاع نسبة المغنيزيوم حيث تتراوح بين ٣١,٩٥ - ٣٩,٢١ وهو من نوع الكلينوانستاتيت . تتراوح نسبة مركباته في حشوات الليرزوليت بين (Ca<sub>2.6-3.3</sub>,Mg<sub>84.8-86.9</sub>,Fe<sub>9.9-12.6</sub>) ويبلغ متوسط محتوى أوكسيد الألミニوم = Al<sub>2</sub>O<sub>3</sub> = ٤,٣٧٪ يقابل بارتفاع واضح في محتوى أوكسيد الكروم Cr<sub>2</sub>O<sub>3</sub> = ٠,٣٨٠٪ وينعكس هذا على الرقم الكرومي الذي يبلغ X<sub>Cr 4.76-6.03</sub>.



شكل ٧ : حشوة غابرو، بنية أولية متساوية الحبيبية ، عينة D-24 ، تكبير X16 ،

مع محلل(+)



شكل ٨ : المخطط التصنيفي ثلاثي الرؤوس  $OI-Px-Pg$  لتصنيف حشوات أسفل

القشرة الأرضية (Streckeisen, 1976).

حيث [ ]  $X_{Cr} = 100 \cdot Cr_2O_3 / (Cr_2O_3 + AL_2O_3)$  ، كما يتراوح الرقم المغنيزي بين  $X_{Mg}$  ٨٥.٥-٩٠.٤ (جدول ٣). تزداد مركبة الانستاتيت في الحشوات البيروكسينية وتظهر التركيب التالي (Ca  $_{10.4-11.7}$ , Fe  $_{85.7-87.1}$ , Mg  $_{2.4-3.2}$ ) ويزداد متوسط محتوى أوكسيد الألミニوم  $Al_2O_3 = ٥.٩٥\%$  و الذي يقابل انخفاض كبير في محتوى أوكسيد الكروم  $X_{Cr} = Cr_2O_3 = ١٠.٥\%$  ، وينعكس هذا وبالتالي على الرقم الكرومي  $X_{Cr} = ٠.٤٣-١.٧٧$  ، كما يتراوح الرقم المغنيزي بين  $X_{Mg} = ٨٧.٩-٩٠.٢$  . في الحشوات الغابروئية المشكّلة أسفل القشرة الأرضية تنخفض المركبة الانستاتيت المغниزية بشكل واضح وترتفع مقابلها المركبة الحديدية وتميّز بتركيبتها التالي (Ca  $_{1.8-3.2}$ , Fe  $_{57-74.6}$ , Mg  $_{23.3-41.2}$ ) ، هذا وينخفض كل من متوسط محتوى أوكسيد الألミニوم  $Al_2O_3 = ٢.٧٦\%$  والرقم المغنيزي الذي يتراوح بين  $X_{Mg} = ٥٧.١-٧٤.٩$  .

**الكلينوبيروكسین (البيروكسین المائل):** يتوافق التركيب الكيميائي لفلز الكلينوبيروكسین لجميع الحشوات المقلعة من الجزء العلوي للمعطف الأرضي مع التركيب الكيميائي للديوبسيد ، والذي ينطبق على التركيب الكيميائي لفلز الكلينوبيروكسین ل什وات الجزء السفلي للقشرة الأرضية عدا العينات D-19,D-24 حيث يكون لتركيب الكلينوبيروكسین تركيباً مماثلاً لفلز الأوجيت (جدول ٤) . تتراوح نسبة مركباته في شوات الليرزولييت في المجال بين  $Ca_{45.9-46.5}, Mg_{48.2-49.3}, Fe_{4.2}$  وبلغ متوسط محتوى أوكسيد الألミニوم  $Al_2O_3 = ٦.١٨\%$  يقابل بارتفاع واضح في محتوى أوكسيد الكروم  $X_{Cr} = Cr_2O_3 = ٦٩.٠\%$  وينعكس هذا على الرقم الكرومي  $X_{Mg} = ٨٦.٢-٩٠.٤$  . كما يتراوح الرقم المغنيزي بين  $X_{Mg} = ٥.٤٣-٧.٥٥$  .

يظهر فلز الكلينوبيروكسین التركيب التالي (Ca  $_{44.6-46.3}$ , Mg  $_{48.3-49.7}$ , Fe  $_{4.6-6.1}$ ) ويزداد متوسط محتوى أوكسيد الألミニوم  $Al_2O_3 = ٦.٣٠\%$  مقابل انخفاض واضح في محتوى أوكسيد الكروم  $X_{Cr} = Cr_2O_3 = ٢١.٥\%$  ، وينعكس هذا على الرقم الكرومي  $X_{Mg} = ٨٨.٦-٩٠.٢$  . يتميّز فلز

**الكلينوبيروكسین المتواجد في الحشوات الغابروئيدية المشكّلة أسفل القشرة الأرضية بتركيبه التالي**  $(\text{Ca}_{36.9-47.2}, \text{Mg}_{9.1-18.8}, \text{Fe}_{42.9-46.1})$  **وينخفض كل من متوسط محتوى أوكسيد الألミニوم**  $\text{Al}_2\text{O}_3 = 3.38\%$  **والرقم المغنيزي الذي يتراوح بين**  $X_{\text{Mg}} = 67-79.1$  **ويشكل وسطياً**  $X_{\text{Mg}} = 75.78$ .

**الغارنت:** يتسم التركيب الكيميائي لفلز الغارنت بتجانسه والمدى المحدود في تنوعه (جدول ٢) وتصف فلز الغارنت المرافق للحشوات البيروكسينيتية أنه من نوع الغارنت الألومينية المغنيزية ويكون أقرب ما يمكن بتركيبه الغارنت من نوع البيروب ويتراوح محتوى مركباته في المجال  $(\text{Pyp.}_{68-74}, \text{Alm.}_{14-18}, \text{Grs.}_{14-18})$ . كما يتميز برقم مغنيزي عالي نسبياً يتراوح بين  $X_{\text{Mg}} = 79.8-85.9$  ورقم كروممي منخفض قيمته  $X_{\text{Cr}} = 0.05$ .

**السبيل:** يتباين التركيب الكيميائي لفلز السبيل (جدول ٢) المرافق للحشوات الليزوليتيه عن السبيل المرافق للحشوات البيروكسينيتية، يتصف الأول بتركيب  $(\text{Spl.}_{76-82}, \text{Hc.}_{15-20}, \text{Mer.}_{3-4})$  مع نسب وزنية منخفضة من متوسط أوكسيد الألミニوم  $\text{Al}_2\text{O}_3 = 58.40\%$  ونسبة منخفضة من أوكسيد المغنيزيوم تقدر وسطياً بـ  $\text{MgO} = 21.22\%$  يقابلها رقم مغنيزي يتراوح بين  $X_{\text{Mg}} = 77.4-83.2$  مع رقم كروممي مرتفع يتراوح بين  $X_{\text{Cr}} = 9.26-10.22$ ، وتصف الثاني بتركيب  $(\text{Spl.}_{76-95}, \text{Hc.}_{3-21}, \text{Mer.}_{2-3})$  مع نسب وزنية مرتفعة من متوسط أوكسيد الألミニوم  $\text{Al}_2\text{O}_3 = 62.90\%$  ونسبة مرتفعة أيضاً من أوكسيد المغنيزيوم تقدر وسطياً بـ  $\text{MgO} = 22.23\%$  يقابلها رقم مغنيزي يتراوح بين  $X_{\text{Mg}} = 76.1-84.2$  مع رقم كروممي منخفض يتراوح بين  $X_{\text{Cr}} = 0.10-4.01$ .

**البلاجيوكلاز:** يتراوح تركيب فلز البلاجيوكلاز المتواجد في حشوات أسفل القشرة الأرضية ذات الطبيعة والتركيب الغابروئيدي في المجال  $(\text{Ab.}_{24-42}, \text{An.}_{57-76}, \text{Or.}_{0-1})$  أي أنه من نوع أنديزين - لابرادوريت (جدول ٢).

161

卷之三

**جدول (٣)**

**نتائج تحليل فلز الأورثوبيروكسين (البيروكسين المستقيم) للحشوات الصخرية الليزوليتية  
البيروكسينية و الغابروئيدية**

Min. Xeno.Typ Samp.No.	Opx. Pyx. D-1	Opx. Pyx. D-2	Opx. Pyx. D-5	Opx. Pyx. D-6	Opx. Pyx. D-8	Opx. Lhz. D-10	Opx. Lhz. D-13	Opx. Lhz. D-15	Opx. Gabbro D-19	Opx. Gabbro D-20	Opx. Gabbro D-24	Opx. Gabbro D-26	Opx. Gabbro D-33
wt.%													
SiO <sub>2</sub>	54.25	54.11	53.7	53.88	56.2	53.51	53.67	54.88	52.1	53.11	52.25	51.76	51.18
TiO <sub>2</sub>	0.03	0.11	0.08	0.09	0.05	0.11	0.18	0.19	0.04	0.04	0.23	0.18	0.11
Al <sub>2</sub> O <sub>3</sub>	5.96	5.53	6.11	6.18	3.76	4.43	4.11	5.18	3.9	2.62	2.74	3.27	1.25
Cr <sub>2</sub> O <sub>3</sub>	0.16	0.13	0.09	0.04	0.36	0.33	0.39	0.44	0.00	0.00	0.00	0.00	0.00
FeO	6.94	6.26	7.75	7.88	6.54	8.16	9.35	6.08	19.58	16.14	16.63	17.67	25.97
Fe <sub>2</sub> O <sub>3</sub>	0.00	0.00	0.00	0.00	0.00	0.00	0.00	0.00	0.00	0.00	0.00	0.00	0.00
MnO	0.12	0.15	0.03	0.12	0.18	0.25	0.33	0.15	0.34	0.39	0.43	0.44	0.43
NiO	0.00	0.00	0.00	0.00	0.00	0.00	0.00	0.00	0.00	0.00	0.00	0.00	0.00
MgO	31.69	31.95	31.56	31.85	31.59	31.3	30.56	31.65	23.37	26.78	25.45	24.44	19.21
CaO	0.76	0.7	0.88	0.67	0.78	0.76	0.81	0.97	0.81	0.56	0.78	0.93	0.73
Na <sub>2</sub> O	0.08	0.09	0.12	0.08	0.07	0.11	0.12	0.07	0.06	0.00	0.04	0.07	0.03
K <sub>2</sub> O	0.00	0.00	0.00	0.00	0.00	0.00	0.00	0.00	0.00	0.00	0.00	0.00	0.00
Tot.	100.0	99.0	100.3	100.8	99.5	99.0	99.5	99.6	100.2	99.6	98.6	98.8	98.9
Cations(O=8)													
Si	1.878	1.886	1.862	1.86	1.947	1.894	1.894	1.901	1.911	1.928	1.939	1.915	1.948
Ti	0.001	0.003	0.002	0.002	0.001	0.003	0.005	0.005	0.001	0.001	0.006	0.003	0.005
AL	0.243	0.227	0.25	0.251	0.154	0.183	0.171	0.211	0.169	0.112	0.118	0.058	0.017
Cr	0.004	0.004	0.002	0.001	0.01	0.009	0.011	0.012	0.00	0.00	0.00	0.00	0.00
Fe <sup>+2</sup>	0.201	0.182	0.225	0.227	0.19	0.24	0.276	0.176	0.601	0.49	0.506	0.551	0.831
Fe <sup>+3</sup>	0.00	0.00	0.00	0.00	0.00	0.00	0.00	0.00	0.00	0.00	0.00	0.00	0.00
Mn	0.004	0.004	0.001	0.004	0.005	0.007	0.01	0.004	0.011	0.012	0.013	0.014	0.014
Mg	1.636	1.66	1.631	1.639	1.632	1.639	1.608	1.634	1.278	1.449	1.382	1.343	1.096
Ca	0.028	0.026	0.033	0.025	0.029	0.029	0.031	0.036	0.032	0.022	0.03	0.037	0.03
Na	0.005	0.006	0.008	0.005	0.005	0.007	0.008	0.005	0.003	0.001	0.004	0.005	0.002
K	0.00	0.00	0.00	0.00	0.00	0.00	0.00	0.00	0.00	0.00	0.00	0.00	0.00
Ni	0.00	0.00	0.00	0.00	0.00	0.00	0.00	0.00	0.00	0.00	0.00	0.00	0.00
X <sub>Mg</sub>	89.2	90.2	88.0	87.9	89.7	87.3	85.5	90.4	68.2	74.9	73.4	71.3	57.1
X <sub>Cr</sub>	1.77	1.55	0.98	0.43	6.03	4.76	5.98	5.39	0.00	0.00	0.00	0.00	0.00
Endmembers													
%Ca	2.6	2.5	3.2	2.4	2.9	2.6	2.6	3.3	3.2	2.1	2.4	3.2	1.8
%Mg	85.7	87.1	86.4	87	86.6	86.9	84.8	86.8	65.2	74.6	72.4	70	57
%Fe	11.7	10.4	10.4	10.6	10.5	10.5	12.6	9.9	31.6	23.3	25.2	26.8	41.2

.[X<sub>Cr</sub>=(100. Cr<sub>2</sub>O<sub>3</sub>/( Cr<sub>2</sub>O<sub>3</sub>+AL<sub>2</sub>O<sub>3</sub>))] و [X<sub>Mg</sub>=(100. MgO/(MgO+FeO))]:

## جدول (٤)

نتائج تحليل فلز الكلينوبيروكسین (البيروكسین المائل) للحسوات الصخرية الليزوليتية،  
البيروكسینيتية و الغابروئيدية

Min. Xeno.Typ Samp.No.	CPx. Pyx. D-1	CPx. Pyx. D-2	CPx. Pyx. D-5	CPx. Pyx. D-6	CPx. Lhz. D-8	CPx. Lhz. D-10	CPx. Lhz. D-13	CPx. Gab. D-15	CPx. Gab. D-19	CPx. Gab. D-20	CPx. Gab. D-24	CPx. Gab. D-26	CPx. Gab. D-33
wt.%													
SiO <sub>2</sub>	51.85	52.15	51.62	51.82	53.85	51.15	50.42	51.32	51.70	51.55	50.80	50.85	50.36
TiO <sub>2</sub>	0.12	0.16	0.17	0.19	0.22	0.46	0.67	0.49	0.22	0.31	0.12	0.46	0.35
Al <sub>2</sub> O <sub>3</sub>	6.34	5.93	6.71	6.22	5.34	6.43	5.71	7.22	3.13	2.86	2.82	3.97	4.10
Cr <sub>2</sub> O <sub>3</sub>	0.25	0.25	0.19	0.17	0.65	0.55	0.69	0.87	0.00	0.00	0.00	0.00	0.00
FeO	3.11	3.59	3.14	3.28	2.91	3.71	4.54	2.98	7.20	6.88	11.12	8.12	7.50
Fe <sub>2</sub> O <sub>3</sub>	0.00	0.00	0.00	0.00	0.00	0.00	0.00	0.00	0.00	0.00	0.00	0.00	0.00
MnO	0.08	0.09	0.05	0.06	0.08	0.19	0.25	0.16	0.16	0.20	0.21	0.15	0.26
NiO	0.00	0.00	0.00	0.00	0.00	0.00	0.00	0.00	0.00	0.00	0.00	0.00	0.00
MgO	15.41	15.53	16.13	15.87	15.21	14.53	15.73	14.87	15.06	14.48	12.55	13.96	14.96
CaO	21.55	21.35	21.14	22.37	20.55	20.35	21.14	19.87	21.17	21.53	21.18	21.67	21.17
Na <sub>2</sub> O	0.78	0.67	0.85	0.66	1.18	1.67	1.10	1.33	0.65	0.48	0.52	0.70	0.51
K <sub>2</sub> O	0.00	0.00	0.00	0.00	0.00	0.00	0.00	0.00	0.00	0.00	0.00	0.00	0.00
Tot.	99.5	99.7	100.0	100.6	100.0	99.0	100.3	99.1	99.3	98.3	99.3	99.9	99.2
Cations(O=8)													
Si	1.877	1.895	1.868	1.871	1.94	1.879	1.845	1.871	1.925	1.934	1.926	1.895	1.914
Ti	0.003	0.004	0.005	0.005	0.006	0.013	0.018	0.013	0.006	0.009	0.005	0.013	0.081
AL	0.272	0.254	0.286	0.265	0.227	0.278	0.246	0.31	0.137	0.125	0.126	0.174	0.01
Cr	0.007	0.007	0.005	0.005	0.019	0.016	0.02	0.025	0.00	0.00	0.00	0.00	0.00
Fe <sup>+2</sup>	0.095	0.109	0.095	0.099	0.088	0.114	0.139	0.091	0.224	0.214	0.353	0.253	0.234
Fe <sup>+3</sup>	0.00	0.00	0.00	0.00	0.00	0.00	0.00	0.00	0.00	0.00	0.00	0.00	0.00
Mn	0.002	0.003	0.002	0.002	0.002	0.006	0.008	0.005	0.005	0.006	0.007	0.005	0.008
Mg	0.836	0.841	0.87	0.854	0.817	0.796	0.858	0.808	0.836	0.926	0.709	0.775	0.776
Ca	0.84	0.831	0.82	0.865	0.793	0.801	0.829	0.776	0.844	0.863	0.86	0.865	0.845
Na	0.055	0.047	0.06	0.046	0.082	0.119	0.078	0.094	0.047	0.035	0.038	0.051	0.037
K	0.00	0.00	0.00	0.00	0.00	0.00	0.00	0.00	0.00	0.00	0.00	0.00	0.00
Ni	0.00	0.00	0.00	0.00	0.00	0.00	0.00	0.00	0.00	0.00	0.00	0.00	0.00
X <sub>Mg</sub>	89.9	88.6	90.2	89.7	90.4	87.6	86.2	90.0	79.0	79.1	67.0	75.6	78.2
X <sub>Cr</sub>	2.58	2.75	1.86	1.80	7.55	5.43	7.50	7.48	0.00	0.00	0.00	0.00	0.00
Endmembers													
%Ca	45.6	46.3	46.2	44.6	46.1	45.9	46.5	46.3	47.2	45.6	44.7	42.9	44.1
%Mg	48.3	49.1	48.4	49.7	48.7	48.5	49.3	48.2	42.5	45.3	36.9	44.8	46.1
%Fe	6.1	4.6	5.4	5.7	5.2	5.6	4.2	5.5	10.30	9.10	18.40	12.30	9.80

$$[X_{Cr} = (100 \cdot Cr_2O_3 / (Cr_2O_3 + AL_2O_3))] \text{ و } [X_{Mg} = (100 \cdot MgO / (MgO + FeO))]$$

### **الدراسة الجيوكيميائية للحشوات :**

تم صياغة محتوى التركيب الكيميائي لحشوات الجزء العلوي من المعطف الأرضي الليزوليتية والبيروكسينيتية كذا حشوات أسفل القشرة الأرضية الغابروئيدية من العناصر الكيميائية الرئيسة (أكسيد عنصرية مقدرة بالنسبة المئوية٪) والعناصر الكيميائية الشحيحة والتادرة (مقدمة كجزء من المليون ppm) في الجدول (٥).

### **جيوكيميائية حشوات المعطف العلوي ( حشوات البيريدوتيت السبينيلي و حشوات البيروكسينيت ):**

على الرغم من أن الحشوات الصخرية البيريدوتيتية الليزوليتية والبيروكسينيتية تتألف من ثلاثة فلزات رئيسة فقط هي الأوليفين، الأورثوبيروكسين والكلينوبيروكسين والتي تمثل بتجمعها معاً نتاجاً مباشراً للانصهار الجزيئي لمواد الجزء العلوي من المعطف الأرضي إلا أنها تبدي تباينات كبيرة في محتواها من العناصر الكيميائية الرئيسة والشحيحة .

يتراوح محتوى أوكسيد المغنتيزيوم في عينات الليزوليتية المدروسة  $MgO = 36.4\%$ -  $47.66\%$  ويشكّل وسطياً  $MgO = 40.8\%$  كنسبة وزنية ، تنخفض هذه القيم في الحشوات الصخرية البيروكسينيتية لتتراوح في المجال بين  $MgO = 15.8-26.31\%$  ويشكّل وسطياً  $MgO = 20.8\%$ . كما يتراوح الرقم المغنتيري للحشوات الليزوليتية في المجال بين  $X_{Mg} = 84.2-90.9\%$  وبلغ وسطياً  $X_{Mg} = 89.3\%$  ينخفض في الحشوات البيروكسينيتية حيث يتراوح بين  $X_{Mg} = 79.4-89.9\%$  وبلغ وسطياً  $X_{Mg} = 84.5\%$ . و عليه فإن التشكّل والانفصال المبكر للفلزات القائمة الغنية بعنصر المغنتيزيوم من الصهارة المهمة سيؤدي إلى تشكّل صخور فوق قاعدية ذات طبيعة ليزوليتية - هارتزبورجيتية و دونيتية قد يتم اقتلاعها ونقلها من الأعماق للسطح مع المصهور البازلت البركانى (Nixon, 1987).

تتراوح نسبة أوكسيد عنصر السيليكون في الحشوات الليزوليتيه بين  $\text{SiO}_2$  40.2-44.47% وتشكل قيمة وسطية تقدر بـ 41.9%. ترتفع قيم أوكسيد عنصر السيليكون في الحشوات البيروكسينيتية لتتراوح في المجال بين  $\text{SiO}_2$  43.45-51.73% كما تشكل قيمة وسطية تساوي 46.7%.

تتراوح العلاقة بين  $\text{Al/Si}$  للحشوات الصخرية الليزوليتيه في المجال بين 0.03-0.13 لتترتفع بشكل ملحوظ وواضح في الحشوات البيروكسينيتية لتتراوح في المجال بين 0.17-0.38 وهذه العلاقة تكون مرتبطة بشكل وثيق عكسيًا مع العلاقة بين  $\text{Mg/Si}$  والتي تترواح في الحشوات الليزوليتيه في المجال بين 1.06-1.50 لتنخفض بشكل واضح في الحشوات البيروكسينيتية وتتراوح بين 0.42-0.75.

إن ارتفاع نسبة أوكسيد عنصر الكالسيوم الوزنية في الحشوات البيروكسينيتية والذي يتراوح في المجال بين  $\text{CaO}$  7.85-16.83% مقارنة مع محتواه المنخفض نسبياً في الحشوات الصخرية الليزوليتيه والذي يتراوح في المجال بين 0.46-3.65%، يعكس بشكل مباشر على العلاقات العنصرية التالية: تكون قيم العلاقة  $\text{CaO/MgO}$  منخفضة في الحشوات الليزوليتيه وتتراوح بين 0.01-0.109، لترتفع في الحشوات البيروكسينيتية وتتراوح بين 0.288-1.008، أيضاً العلاقة  $\text{CaO/Al}_2\text{O}_3$  تكون منخفضة نسبياً في الحشوات الصخرية الليزوليتيه وتتراوح بين 0.42-0.96، ترتفع في الحشوات البيروكسينيتية لتتراوح في المجال بين 0.81-1.95.

يتضح من (الشكل : ٩ و ٩ ب) مخطط العلاقة بين أوكسيد عنصر المغنيزيوم  $\text{MgO}$  والعناصر الكيميائية الرئيسية والشححة والنادرة وجود علاقة ارتباط خطية سلبية بين أوكسيد المغنيزيوم وجميع العناصر الكيميائية النادرة مثل: (Yb,La,Sm,Y,Nd,Ce,Nb). وأيضاً مع أكسيد العناصر الكيميائية الرئيسية التالية:  $\text{CaO}$ ,  $\text{Al}_2\text{O}_3$ ,  $\text{K}_2\text{O}$ ,  $\text{Na}_2\text{O}$  بينما لا يظهر أوكسيد عنصر الكروم  $\text{Cr}_2\text{O}_3$  علاقة واضحة

جدول (٥)

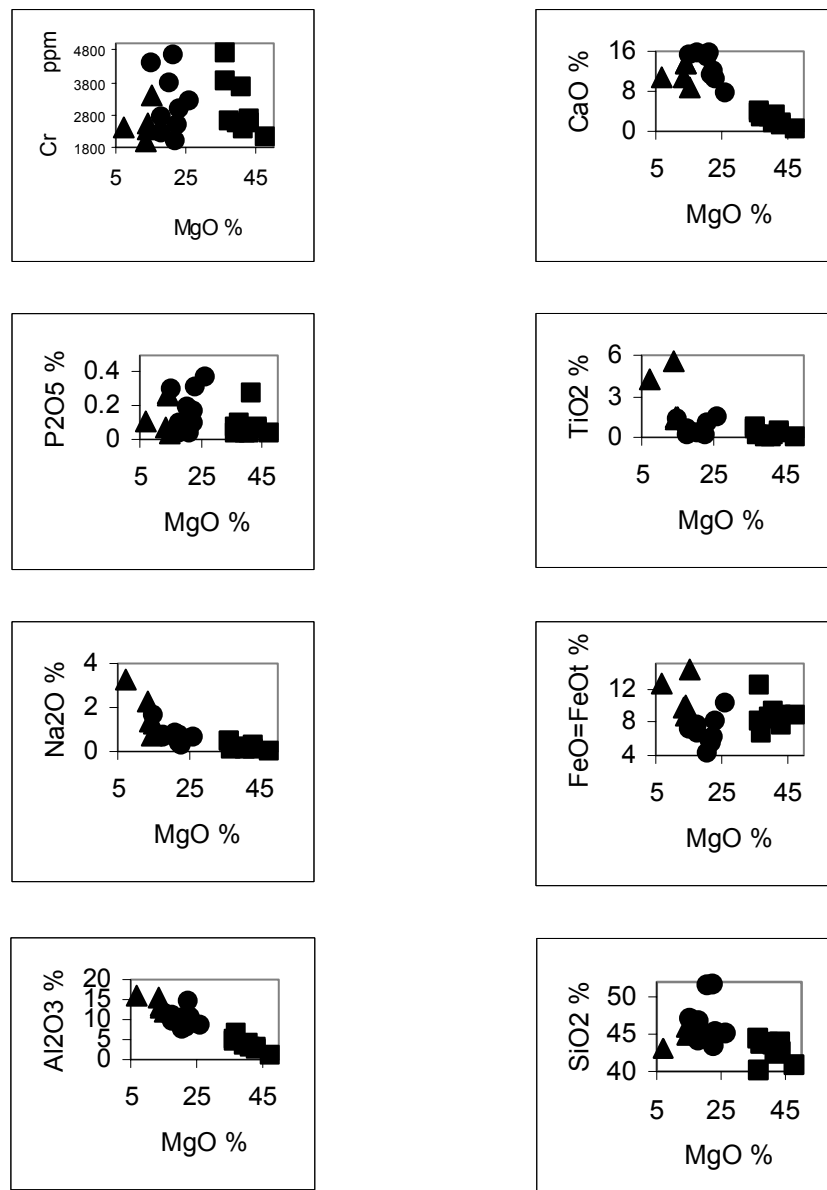
Samp No.	Xeno.Typ	ناتج عملي العاشر الكيميائية الرئيسية - ppm												والثانوية - %										
		D-1 Pyx.	D-2 Pyx.	D-3 Pyx.	D-4 Pyx.	D-5 Pyx.	D-6 Pyx.	D-7 Pyx.	D-11 Pyx.	D-12 Pyx.	D-8 Lhz.	D-9 Lhz.	D-10 Lhz.	D-13 Lhz.	D-14 Lhz.	D-15 Lhz.	D-16 Lhz.	D-17 Lhz.	D-19 Lhz.	D-20 Lhz.	D-24 Gab.	D-26 Gab.	D-33 Gab.	
wt.%																								
SiO <sub>2</sub>	45	43.45	47.12	51.61	44.2	51.73	45.16	46.8	45.35	42.67	43.95	43.9	44.47	40.2	43.75	42.42	43.68	40.9	44.86	45.92	43.1	45.99	39	
TiO <sub>2</sub>	0.23	0.2	1.32	0.32	0.59	0.35	1.43	0.12	1.06	0.47	0.26	0.05	0.64	0.78	0.15	0.17	0.04	0.07	1.37	1.4	4.25	1.44	5.52	
Al <sub>2</sub> O <sub>3</sub>	10.41	14.6	11.26	7.54	11.08	7.77	8.33	9.42	10.61	2.8	2.63	3.4	4.68	4.77	6.27	3.24	4.11	1.04	12.81	13.68	16	12	15.3	
Fe <sub>2</sub> O <sub>3</sub>	0.52	1.25	5.3	0.86	3.17	0.75	2.79	4.27	0.83	1.85	1.34	1.39	1.79	5.16	0.8	3.42	4.1	3.98	3.32	3.25	11.18	8.23	10.64	
FeO	5.45	5.14	2.32	3.41	3.85	4.71	7.64	3.7	7.28	7.18	6.5	7.38	6.46	7.7	6.0	5.17	5.55	5.16	7	5.91	2.64	6.78	0.28	
MnO	0.16	0.15	0.15	0.12	0.14	0.17	0.15	0.12	0.14	0.14	0.13	0.15	0.14	0.18	0.1	0.14	0.14	0.13	0.18	0.16	0.18	0.21	0.1	
MgO	21.4	22.57	15.18	20.63	17.84	22.32	26.31	17.9	23.16	43.41	43.21	39.55	36.4	36.56	37.33	41.73	41.06	47.66	14.34	14.22	7.0	15.09	13.69	
CaO	15.83	11.83	15.3	14.73	16.83	11.27	7.58	15.8	10.28	1.45	1.39	2.64	3.97	3.65	2.99	3.12	1.71	0.46	13.59	13.57	10.66	8.9	10.8	
Na <sub>2</sub> O	0.83	0.37	1.66	0.75	0.75	0.73	0.63	0.66	0.23	0.23	0.13	0.19	0.47	0.49	0.13	0.2	0.05	0.04	0.73	1.33	3.28	1.24	2.3	
K <sub>2</sub> O	0.09	0.09	0.39	0.3	0.07	0.03	0.23	0.2	0.22	0.06	0.04	0.04	0.53	0.03	0.02	0.28	0.18	0.03	0.28	0.13	0.39	0.13	1.5	
P2O5	0.03	0.10	0.32	0.19	0.09	0.17	0.37	0.04	0.31	0.07	0.06	0.03	0.03	0.07	0.04	0.09	0.27	0.04	0.04	0.27	0.26	0.11	0.04	
H2O	0.2	0.25	0.32	0.10	0.36	0.25	0.22	0.45	0.25	0.22	0.30	0.20	0.25	0.20	0.20	0.32	0.20	0.2	0.35	0.25	0.24	0.71	0.3	
Tot.	99.9	100	100.5	100.6	99	100.3	100.8	99.5	99.7	100.5	99.8	98.9	100	99.8	97.8	100.5	100.9	99.7	99.1	100.1	99.6	100.8	99.5	
X <sub>Mg</sub>	86.7	86.6	79.4	89.9	82.7	88.2	82.3	81.0	83.8	89.8	91.0	89.2	89.0	84.2	90.9	90.1	88.9	90.7	72.1	74.3	49.8	65.7	71.4	
ppm	Sr	12	222	341	41	103	44	925	12	544	89	88	18	128	69	278	5	0	9	372	226	124	238	613
V	214	205	217	259	328	221	83	250	142	44	45	56	49	73	92	32	58	55	97	271	182	510	163	
Zr	22	22	139	24	22	28	177	49	147	45	56	49	73	95	36	8	9	11	188	90	145	60	39	
Cr	4626	2504	4400	3800	2213	1973	3206	2737	2974	2664	2636	2632	4680	3804	2875	2365	3651	2121	2508	2420	2423	3415	1980	
Ni	1800	1030	2550	2600	2360	580	2124	2054	2056	2318	2083	2290	2006	1986	1412	1997	2045	1523	1356	1815	1552	2827	664	
Co	56	57	70	58	59	65	117	221	76	160	161	130	146	185	124	182	229	245	103	92	74	136	114	
Nb	4.5	3.6	5.2	7.2	3.8	4.2	6.2	4.3	5.4	0.87	0.98	0.83	1.05	0.94	1.23	0.96	0.86	1.32	9.0	6.0	5.0	7.0	11	
Y	13	15	18	16	15	10	12	16	14	5.0	6.1	4.2	5.1	3.8	7.1	5.2	4.5	4.9	36	23	18	20	22	
La	3.2	2.7	3.5	3.1	2.8	2.9	4.1	2.9	3.7	0.98	0.88	0.55	0.62	0.46	0.52	0.74	0.48	0.74	4.22	5.1	6.62	3.52	7.48	
Ce	7.6	8.3	6.3	5.9	6.4	7.1	8.3	6.3	7.4	2.23	2.22	1.5	1.86	3.11	2.96	3.45	2.74	11.12	15.2	15.26	8.12	13.8		
Nd	5.3	4.8	3.9	5.1	3.7	5.6	6.1	5.2	4.5	1.16	1.13	1.88	0.98	1.53	1.67	0.87	0.82	1.08	12.6	9.8	12.1	14.2	9.4	
Sm	0.87	1.32	0.92	1.35	0.89	1.47	1.57	1.51	1.23	0.31	0.29	0.18	0.17	0.22	0.2	0.19	0.21	0.24	1.97	2.74	2.65	2.05	3.53	
Yb	0.41	0.32	0.29	0.33	0.37	0.42	0.38	0.36	0.33	0.2	0.21	0.15	0.18	0.21	0.28	0.26	0.2	1.3	1.98	1.9	1.8	2.52		
La/Yb	7.8	8.4	12.1	9.4	7.6	6.9	10.8	8.1	11.2	4.9	4.2	3.7	2.2	1.9	2.8	1.8	3.7	3.2	2.6	3.5	2.0	3.0		

[X<sub>Cr</sub>=(100-Cr<sub>2</sub>O<sub>3</sub>)/(Cr<sub>2</sub>O<sub>3</sub>+Al<sub>2</sub>O<sub>3</sub>) و [X<sub>Mg</sub>=(100-MgO)/(MgO+FeO)] :

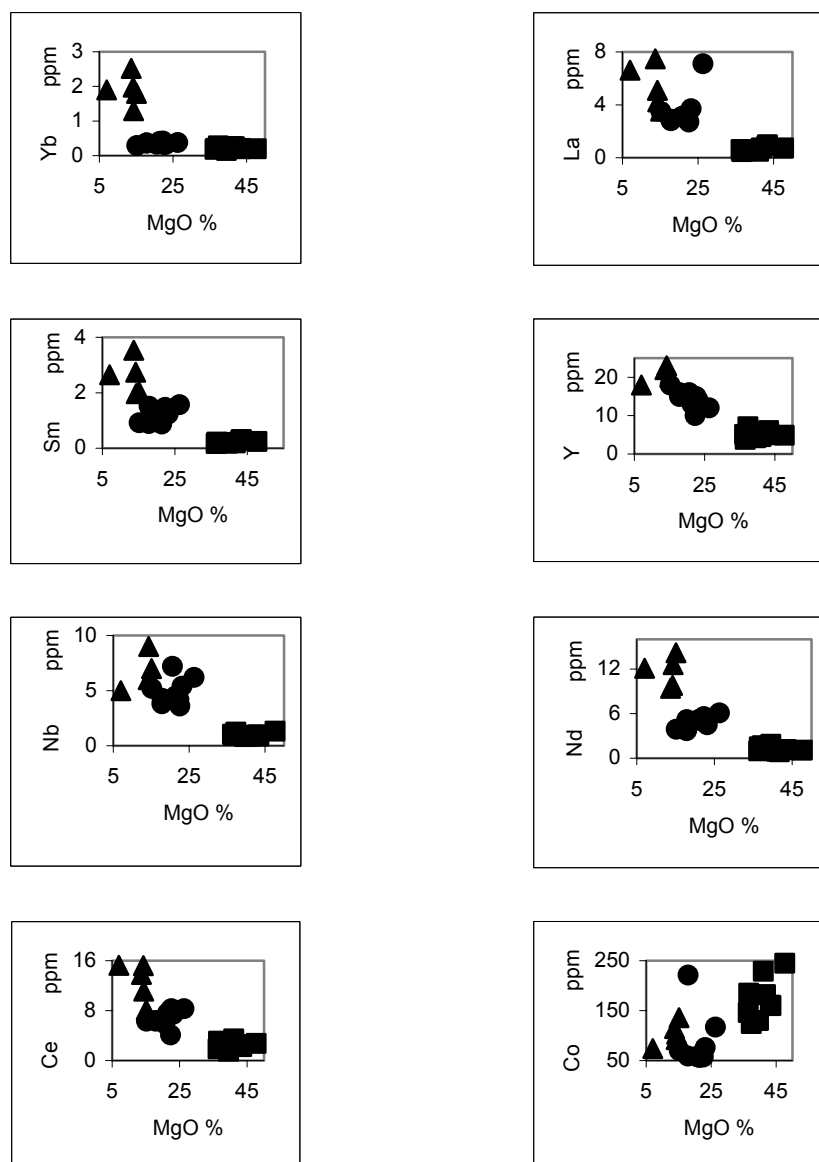
مع  $MgO$  ويمكن إعادة ذلك إما بسبب إحلال جزء من عنصر الكروم في فلز الكلينوبيروكسین "الديوبسيد الكرومي" أو في فلز السبينيل الكرومي أو بسبب الانفصال المبكر لجزء منه من الصهارة المهلية ثقاليًا على شكل فلز الكروميت . يتضح أيضًا وجود علاقة ارتباط خطية إيجابية بين أوكسيد المغنيزيوم و عنصر الكوبالت . تترواح قيمة العلاقة  $La/Yb$  في الحشوات الصخرية البيريدوتينية الليزوليتية بين 4.9-12.1 و التي ترتفع بشكل واضح في الحشوات البيروكسينيتية لتتراوح في المجال بين 7.6-12.1 . كما يلاحظ ارتفاع لجميع قيم العناصر الكيميائية النادرة  $Y, La, Ce, Nd, Sm$  في الحشوات البيروكسينيتية عنها في الحشوات الليزوليتية (جدول ٥) .

#### **جيوكيميائية حشوات أسفل القشرة الأرضية:**

تباعين التراكيب الكيميائية لحشوات أسفل القشرة الأرضية في مجال واسع (جدول ٥ ) كما أنها تتباعين بشكل واضح وكبير عن حشوات الجزء العلوي للمعطف الأرضي (الشكل : ٩ - ب) فالنسبة  $MgO/SiO_2$  تكون منخفضة في حشوات القشرة الأرضية وتتراوح بين 0.32-0.40 و تزداد قيمتها في الحشوات البيروكسينيتية وتتراوح بين 0.56-0.82 . ترتفع في الحشوات الليزوليتية لتتراوح في المجال 1.17-1.82 . يكون الحال مشابهاً أيضاً في النسبة  $MgO/Al_2O_3$  حيث تكون منخفضة في حشوات القشرة الأرضية وتتراوح قيمتها بين 0.44-0.66 في حين أنها تراوح في الحشوات البيروكسينيتية بين 1.35-3.16 وفي الحشوات الليزوليتية بين 5.95-45.83 .

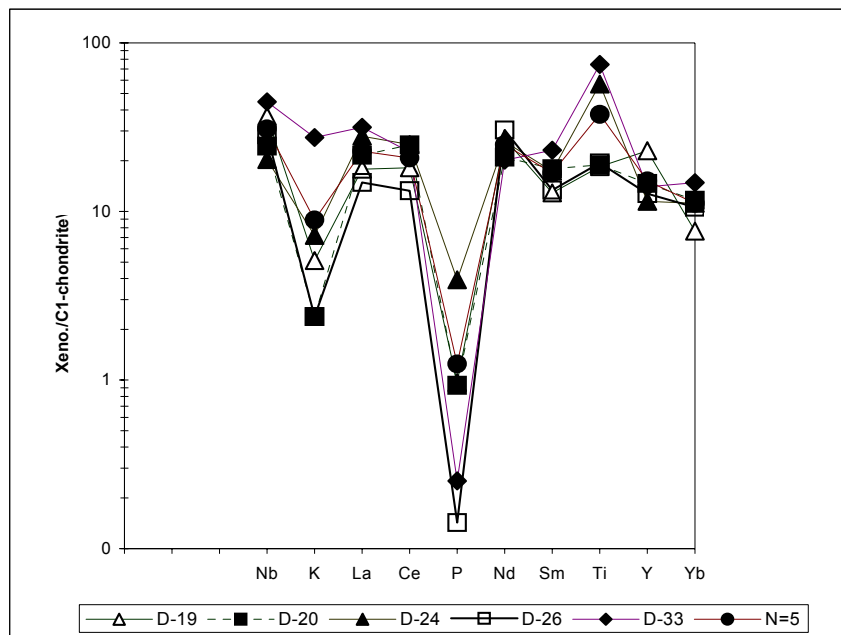


شكل ٩ : مخططات مقارنة المتغيرات الكيميائية لبعض أكسيد العناصر الكيميائية الرئيسية مع أوكسيد عنصر المغنيزيوم (■ : ليزوليت، • : بiroكسينون، ▲ : غابرو )



شكل ٩ ب: مخططات مقارنة المتغيرات الكيميائية لبعض العناصر الكيميائية الشعيبة والنادرة مع أوكسيد المغنيزيوم (■ : ليروزوليت، ● : بيروكسينيت، ▲: غابرو).

نجد لدى مقارنة محتوى حشوات أسفل القشرة الأرضية الغابروئيدية المدروسة من العناصر الكيميائية النادرة مثل: ( Nb , La , Ce , Nd , Sm , Y , Yb ) والعناصر الكيميائية الرئيسية مثل : ( K , P , Ti ) مع تلك الموجودة في الكوندريت (Sun and McDonough,1989) اغتنائها بهذه العناصر عدا العينتين D-26 - D-33 اللتين تظهران افتقاراً محسوساً في عنصر الفوسفور (شكل - ١٠). أيضاً لدى إسقاط محتوى العناصر الكيميائية الرئيسية والشحيبة والنادرة لهذه الحشوات على مخططات Cr / FeO<sup>\*</sup> / MgO مقابل SiO<sub>2</sub> (Miyashiro and Shido,1975) و Cr / SiO<sub>2</sub> مقابل Zr / P<sub>2</sub>O<sub>5</sub> (Winchester and Floyd,1976) و مخططات Nb / Y مقابل Zr / P<sub>2</sub>O<sub>5</sub> (Winchester and Floyd,1976) تتمرّكز في القطاعات المخصصة للصخور القاعدية المهلية ثلويّية الطبيعة.



شكل ١٠: يبيّن الشكل مضاهاة بعض العناصر الكيميائية للحشوات الغابروئيدية مع محتواها في الكوندريت

### تقدير حرارة وضغط التشكيل للحشوات:

أ - تقدير حرارة (جيوتيروموميتير) التشكيل للحشوات المدرستة:

تعتمد معظم المخططات الجيوتيروموميتيرية على نوعين من المعايير:

يعتمد النوع الأول على مقدار الانحلالية المتوازنة بين فلزي الكلينوبيروكسین CPx.

والأورثوبيروكسین OPx أو التبادل الأيوني المتزن للعناصر الكيميائية بينهما ،

وينتمي لهذا النوع كل من معايير:

(Wells,1977) ; (Mysen,1973) ; (Hensen,1973) ; (Boyd and Nixon,1973)

.(Bertrand and Mercier,1985); (Brey and Koehler,1990); (Berchova,1996)

يعتمد النوع الثاني على التبادل الأيوني المتوازن للعناصر الكيميائية بين فلزين أو

أكثر، وينتمي لهذا النوع كل من المعايير الجيوجرارية التالية :

- مخطط (Witt-Eickschen and Seck,1991) المعتمد على تغير محتوى عنصر الألミニوم

في فلز الأورثوبيروكسین المتوازن مع فلزي الأوليفين والسبيل.

- مخطط (Ellis and Green,1979) المعتمد على تبادل عنصر الحديد مع عنصر

المغنيزیوم بين فلزي الغارنیت والكلینوبیروكسین.

- مخطط (Powell,1985) المعتمد على تبادل عنصر الحديد مع عنصر المغنيزیوم بين

فلزي الغارنیت والكلینوبیروكسین.

- مخطط (Krogh-Ravna,2000) المعتمد على تبادل عنصر الحديد مع عنصر

المغنيزیوم بين فلزي الغارنیت والكلینوبیروكسین.

- مخطط (Harly,1984a) المعتمد على تبادل عنصر الحديد مع عنصر المغنيزیوم بين

فلزي الغارنیت والأورثوبيروكسین.

- مخطط (Balhaus et.al.,1991a;b) المعتمد على تبادل عنصر الحديد مع عنصر

المغنيزیوم بين فلزي الأوليفين والسبيل.

- مخطط (Sachtleben and Seck,1981) المعتمد على تغير محتوى عنصر الكالسیوم

في فلز الأورثوبيروكسین.

- مخطط (Witt-Eickschen and Seck, 1991) المعتمد على تبادل عنصر الكروم مع عنصر الألミニوم بين فلزي الأورثوبيروكسين والسبينيل.

تم استخدام أربعة معايير جيوجرافية في هذه الدراسة وتم صياغة قيم درجات حرارة التشكّل بالدرجة المئوية ° لحشوات الجزء العلوي من المعطّف الأرضي الليزوليتي والبيروكسينية وكذلك حشوات الجزء السفلي للقشرة الأرضية الغابروئيدية في الجدول (٦) والذي بين تطابق حقول القيم الحرارية لتشكل كل مجموعة حشوية، حيث تتشكل الحشوات الليزوليتي في مجال حراري يتراوح بين ٩١٥ - ١٠٦٠ ° م، ويتراوح بالنسبة للحشوات البيروكسينية بين ٩٤٥ - ١٠٣٥ ° م، تتحفّض هذه القيم بالنسبة للحشوات الغابروئيدية لتتراوح في المجال بين ٨٢٠ - ٩٥٠ ° م.

ب - تقدير ضغط (جيوباروميتر) التشكّل للحشوات المدروسة:

يعتبر تحديد ضغط التشكّل للحشوات الصخرية أمراً صعباً ولا يمكن تحقيقه بشكل دقيق لهذا يعتمد كثير من الباحثين لدى تقديرهم درجات ضغط التشكّل على سحنات التوازن الفلزي للمترافقات الفلزية ، حيث يعتبر تواجد فلز الفارنت في الحشوات الليزوليتي مؤشراً هاماً لبدء القيم المرتفعة للضغط والتي تبدأ عند ضغط ١٩ كيلوبار عند درجة حرارة ١١٠٠ ° م بينما يعتبر تشكّل فلز البلاجيوكلاز مؤشراً ضرورياً للانتقال إلى سحنات توازن فلزية منخفضة تبدأ بضغط ٨ كيلوبار وفي درجة حرارة ١١٠٠ ° م . أعطت الحشوات البيروكسينية المدروسة على مخطط (Wood, 1974) ضغط تشكّل تراوح في المجال بين ١٣,٥ - ١٤ كيلوبار.

كما أنه ليس من السهل تقدير ضغط تشكّل حشوات الجزء السفلي للقشرة الأرضية ذات الطبيعة الغابروئيدية الحالية بشكل عام من فلز الفارنت، لذا يعتمد في تقديره على مقارنة المترافقات الفلزية وتحديد درجات ثبات الطور بالنسبة لها خاصة

عند انتقالها لسحنة الصخور الايكولوجيتية ; (Green and Ringwood,1967) (Herzberg,1987) ; (Ito and Kennedy,1971) ; (Irving,1974) (Wood,1987); أنه في حال غياب فلز الأوليفين يسود ضغط تشكل ٦ كيلوبار وبشروط حرارية مراقبة تصل لـ  $800^{\circ}\text{م}$  ، بينما يقتضي غياب فلز الغارنت ضغطاً يتراوح بين ٩ -  $100^{\circ}\text{م}$  كيلوبار عند درجة حرارة  $1100^{\circ}\text{م}$  ، لذا يمكن الافتراض أنه وضمن الشروط الحرارية المفترضة لتشكل الحشوات الغابروئيدية المدروسة ساد ضغط تراوح بين ٦ - ٨ كيلوبار وعمق تشكيل تراوح بين ٢٠ - ٢٧ كم .

### جدول (٦)

قيم حرارة و ضغط تشكيل الحشوات المدروسة.

خشوات الجزء السفلي من القشرة الأرضية					خشوات الجزء العلوي من المعطاف الأرضي					نوع المخلط			
الخشوات الغابروئيدية					خشوات البيروكسينيت		خشوات الليزولييت						
D33	D26	D24	D20	D19	D6	D5	D2	D1	D21	D13	D10	D8	
950	865	855	945	940	945	1010	1005	980	1015	915	1020	1015	نوعي البيروكسين Wells,1977
825	820	875	935	865	925	1010	1025	980	1060	930	1050	1040	نوعي البيروكسين Brey & Koehler,1990
					985	960	970	975	1030	1015	995	1010	محتوى عنصرال Ca في OPx. Brey & Koehler,1990
					13.5	1035	1025	1005	1060	1050	1050	1010	محتوى عنصرال Ca في OPx. Sachtleben & Seck,1981
8 - 6					14.5	975	985	1005	1030	1015	1015	1010	Wood,1974

وبشكل عام يمكن القول أن هذه النتائج (القيم الجيوضغطية والجيحرارية) للحشوات المدروسة تتشابه مع القيم وال المجالات الحرارية المحددة في دراسات سابقة من قبل العديد من الباحثين. فلقد حدد (Sharkov et.al., 1989) للحشوات الليزوليتيه المدروسة من تل دنون ضغط تشكل تراوح بين ١٠ - ٢٠ كيلوبار عند شروط حرارة تشكل حددها (Turkmani, 1995) بالنسبة لحشوات الليزوليتي السبيئيني في المجال بين ٩٣٢ - ١٠٥٥ م° و لخشوات الهارتزبورجيت ٩٤٨ - ١١١٥ م° و لخشوات الويستيريت ٩٨٢ - ١١٤٠ م° ، أما بالنسبة للخشوات الليزوليتي المنتشرة في تل الأشاعر فقد حدد (Medaris and Syada, 1998) ضغط تشكل يصل لـ ١٨,٨ كيلوبار مع حرارة مرافقه تتراوح بين ١٠٠٠ - ١٠٥٠ م° وعمق تشكل مفترض تتراوح بين ٤٠ - ٦ - كيلومتر، أما بالنسبة للخشوات البيروكسينيتي المنتشرة في ذات الموقع فقد حدد (Medaris and Syada, 1999) ضغط تشكل تراوح بين ١١,٥ - ١٣,٨ كيلوبار وحرارة تراوحت في المجال بين ٩٧٠ - ١٠٤٠ م° .

كذلك تم تحديد شروط حرارة تشكل الحشوات الليزوليتي المدروسة في تل خففة في المجال بين ٩٢٥ - ١١٢٥ م° مع ضغط تشكل تراوح بين ١٥ - ٢٠ كيلوبار وعمق تشكل مفترض تتراوح بين ٣٠ - ٦٠ كيلومتر (Syada et al., 1996).

حدد (Nasir and Al - Fugha, 1988) شروط تشكل حرارية للخشوات الصخرية الليزوليتي السبيئينيتي المأخوذة من تل أرثين تتراوح بين ٩٢٥ - ١٠٢٥ م° وعمق تشكل افتراضي يصل إلى ٣٧ كيلومتر، وتم تحديد مجالات حرارية وضغطية للخشوات المأخوذة من عدة مواقع من البراكين الأردنية (Nasir et al., 1992) تتراوح بالنسبة للخشوات البيروكسينيتي بين (١١ - ١٣ كيلوبار للضغط ، ٩٤٠ - ١٠٢٠ م° للحرارة) وللخشوات الليزوليتي (١٢ - ١٨ كيلوبار للضغط ، ٩٢٠ - ١٠٣٠ م° للحرارة) وللخشوات الغابروئيدية الطبيعية بين (٥ - ١١ كيلوبار للضغط ، ٧٧٥ - ٨٠٠ م° للحرارة عند عمق افتراضي يتراوح بين ١٧ - ٣٥ كيلومتر).

**References:**

1. Abu-Aljarayesh, I., Mahmood, S., Nasir, S., (1993): Magnetic study on lower crustal and upper mantle xenoliths from northeast Jordan. *Abhath Al-Yarmouk*, Pure Sci. and Eng., 2, 41 – 54.
2. Balhaus , C. , Berry , R . F . and Green , D.H.,(1991a) : High pressure experimeteal calibration of the olivine – orthopyroxene - spinel oxygen geobarometer : implications for the oxidation state of the upper mantle : *Contrib . Mineral . Petrol* ,v.107,p.27-40.
3. Balhaus , C., Berry , R . F . and Green , D . H . , (1991b): High pressure experimeteal calibration of the olivine – orthopyroxene - spinel oxygen geobarometer : implications for the oxidation state of the upper mantle : *Contrib . Mineral . Petrol* , v.108,p.384.
4. Barberi, F., Capaldi, G., Gasperini, P., Marinelli, G., Santacroce, R., Treuil, M., Varet, J. (1980): Recent basaltic volcanism of Jordan and its implications on the geodynamic history of the Dead Sea shear Zone. in "Geodynamic evolution of the Afro-Arabian Rift system". Accademia Nazionale dei Lincei Rome. 667-683.
5. Berchova , V. , (1996) : Experimentelle Orthopyroxen – Klinopyroxen - Thermobarometrie im CaO-MgO-Al<sub>2</sub>O<sub>3</sub>-SiO<sub>2</sub>-H<sub>2</sub>O(CMASH). Dr . Rer . Nat . Thesis , Univ . – System Muenchen.
6. Bertrand ,P. and Mercier,J.C.C., (1985): The mutual solubility of coexisting ortho-and cliopyroxene:toward and absolute gethermometer for the natural system?:*Earth Planet.Sci.Lett.*,v.76,p.109-122.
7. Brey, G.P. and Koehler, T., (1990): Geothermometry in four-phase I. Lherzolites, II. New thermobarometers, and practical assessment of existing thermometers. *J. Petrol.*, 31, 1353-1378.
8. Boyd,F.R., and Nixon ,P.H., (1973): Structure of the upper mantle beneath Lesotho . *Carnegie Inst.Wash.year book*,v.72.p.431-445.
9. Camp, V.E. and Roobol , M.J., (1989): The Arabian continental alkali basalt provinces: Part I Evolution of Harrat Rahat, Kingdom of Saudi Arabia. *Geol. Soc. Am. Bull.*, 101, 71-95.
10. Camp, V.E. and Roobol, M.J. (1992): The Arabian continental alkali basalt province, part III. Evolution of the Harrat Kishb, Kingdom of Saudi Arabia. *Geological Society of America Bulletin* 104 , 379-396.
11. Camp, V.E., Roobol, M.J., and Hooper , R.J. (1991): The Arabian continental alkali basalt province, part II. Evolution of the Harrats Khaybar, Ithnayn and Kura, Kingdom of Saudi Arabia. *Geological Society of America Bulletin* 103 , 363-391.

12. Capan, U. Z., Vidal PH. and Cantagrel, J. M. (1987): K-Ar, Nd, Sr and Pb isotopic study of quaternary volcanism in Karasu valley (Hatay), N-end of Dead Sea Rift zone in SE-Turkey. *Yerbilimleri*, 14, 165-178.
13. Coleman, R.G., Gregory, R.T., Brown , G.F. (1983): Cenozoic volcanic rocks of Saudi Arabia. Saudi Arabian Deputy Minist. Mineral Res. Open File Rep. USGS-OF- 3-93, 82p.
14. Dodge, F.C., Calk, L.C., Kistler, R.W. (1986): Lower crustal xenoliths, Chinees Peak lava flow, central Sierra Nevada. *J.Petrol.*, 27, 1277-1304.
15. Dostal, J., Dupuy, C., Leyreloup, A. (1980): Geochemistry and petrology of meta-igneous granulitic xenoliths in Neogene volcanic rocks of the Massif Central, France- Implication for the lower crust. *Earth Planet Sci. Lett.*, 50, 31-49.
16. Downes, H., Dupuy, C., Leyreloup, A.F. (1990): Crustal evolution of the Hercynian belt of Western Europe: evidence from lower-crustal granulitic xenoliths (French Massif Central). *Chemical Geol .*, 83, 209-231.
17. Dutria,J.M. and Girod,M.,(1987): Cenozoic volcanism associated with swells and rifts : In Nixon,P.H.,ed.,Mantle Xenoliths:New York,John Wiley and Sons,p.195-214.
18. Ellis,D.J., and Green,D.H.,(1979): An experimental study of the effect of Ca upon garnet - clinopyroxene Fe - Mg exchange equilibria : *Contrib . Mineral . Petrol* ,v.71,p.13-22.
19. Franz,L.,W.Seifert, and W.Kramer.,(1997): Thermal evolution of the mantle underneath the Mid-German Cristalline Rise:evidence from mantle xenoliths from the Rhoen area(Central Germany),*Mineralogy and Petrology*,v.61,p.1-25.
20. Frey, F.A., and Prinz, M., (1978): Ultramafic inclusions from San Carlos, Arizona: petrogenesis and geochemical data bearing on their petrogenesis. *Earth Planet. Sci. Lett.*, 38: 129-176.
21. Griffin, W.L., Sutherland, F.L. and Hollis, J.D., (1987a): Geothermal profile and crust-mantle transition beneath east-central Queensland: volcanology, xenolith petrology and seismic data. *J. Volcanol. Geotherm. Res.* 31:177-203.
22. Griffin, W.L. and O'Reilly, S.Y. (1987): The composition of the lower crust nature of the continental Moho-xenolith vidence. in "Mantle xenoliths", P.H. Nixon, ed. Wiley, Chichester, 413-420.
23. Griffin, W.L., Sutherland, F.L., Hollis, J.D. (1987b): Geothermal profile and crust-mantle transition beneath the east-central Queensland: Volcanology, xenolith petrology and seismic data. *J.Volcanology and Geothermal Res.*, 31, 177-203.
24. Green, D.H. and Ringwood, A.E. (1967): An experimental investigation of gabbro to eclogite transformation and its petrological applications. *Geochimica Cosmochemica Acta* 31, 767- 833.

25. Harley,S.L.,(1984a): An experimental study of the partitioning of Fe and Mg between garnet and orthopyroxene:Contrib.Mineral.Petrol.,v.86,p.359-373.
26. Henjes-Kunst, F., Altherr, R., Baumann, A. (1990): Evolution and composition of the lithospheric mantle underneath the western Arabian Peninsula: constraints from Sr-Nd isotope systematics of mantle xenoliths. Contrib. Mineral. Petrol., 105, 406-427.
27. Hensen ,B.J.(1973):Pyroxenes and garnets as geothermometers and barometers.Carnegie Inst.Wash.Year-book,v.72,p.527-534.
28. Herzberg, C.T. (1987): Pyroxene geothermometry and geobarometry: experimental and thermodynamic evalutation of some subsolidus phase relations in volving pyroxenes in the system CaO-MgO-Al<sub>2</sub>O<sub>3</sub>-SiO<sub>2</sub>. Geochim.Cosmochim. Acta , 75, 75-84.
29. Irving, A.J. (1974): Geochemical and high pressure experimental studies of garnet pyroxenite and pyroxene granulite xenoliths from Delegate basaltic pipe, Australia. J.Petrol., 15, 1-40.
30. Ito, K. and Kennedy, G.C. (1971): An experimental study of the basalt-garnet granulite-eclogite transition. in "The structure and physical properties of the earth's crust", J.G. Heacock, ed. Am. Geophys. Union Monograph., 14, 303-314.
31. Kay, R.W. and Kay, S.M., (1981): The nature of the lower crust: inferences from geophysics, surface geology, and crustal xenoliths. Rev. geophys. Space phys.,19, 271-297.
32. Krogh – Ravna ,E .(2000): The garnet-clinopyroxene Fe<sup>2+</sup>- Mg eothermo- meter : an updated calibration,J.metamorphic Geol.,v.18,p.212-219.
33. Kuo, L.C. and Essene, E.J. (1986): Petrology of spinel harzburgite xenoliths from the Kishb Plateau, Saudi Arabia. Contrib. Mineral. Petrol., 93, 335-346.
34. Loock, G., Stosch, H.G., Seck, A.A., (1990): Granulite facies lower crustal xenoliths from the Eifel, West Germany: Petrological and geochemical aspects. contrib. Mineral. Petrol., 105. 25-41.
35. McGuire, A.V. (1988a): Petrology of mantle xenoliths from Harrat al Kishb: the mantle beneath Western Saudi Arabia. Journal of Petrology 29, 73-92.
36. McGuire, A.V. (1988b): The mantle beneath the Red Sea margin: xenoliths from western Saudi Arabia. Tectonophysics 150, 101-119.
37. Medaris,L.G.,Jr., and Syada, M.G.,(1998): Spinel peridotite xenoliths from Al-Ashaer volcano,Syria:A contribution to the elemental composition and thermal state of subcontinental Arabian Lithosphere : Int . Geol . Rev . , v . 40 ,p.305-324.
38. Medaris,L.G.,Jr., and Syada, M.G.,(1999): Pyroxenite Xenoliths from Al-Ashaer volcano,Syria:Constraints on the thermal state of subcontinental Arabian Lithosphere:Int.Geol.Rev.,v.41,p.895-905.

- 
39. Miyashiro,A. and Shido, F., (1975): Tholeiitic and calc-alkali series in relation to the behaviors of titanium ,vanadium , chromium , and nikel . In : Amer .J.Sc.- new Haven 275.p.265-277.
  40. Mouty, M., Delaloye, M., Fontignie, D. Piskin, O., and Wagner, J.J. (1992): The volcanic activity in Syria and Lebanon between Jurassic an Actvel. Schweiz Mineral. Petrogr. Mitt. 72, 91-105.
  41. Mysen,B.O.(1973):Melting in a hydrous phase relation of mantle peridotites with controlled water and oxygen fugacities.Carnegie Inst.Wash.year book,v.72.p.467-477.
  42. Nasir, S. (1990): K-Ar age determination and volcanological evolution of the northwestern part of the Arabian Plate. Europ. J. Mineral., 2, Beiheft, 1, 188.
  43. Nasir, S. (1992): The lithosphere beneath the northwestern part of the Arabian plate (Jordan): evidence from xenoliths and geophysics. Tectonophysics, 201, 357-370.
  44. Nasir, S. (1994): Geochemistry and petrogenesis of Cenozoic volcanic rocks from the northwestern part of the Arabian continental alkali basalt province, Jordan. Africa Geoscience Review 1, 455-467.
  45. Nasir, S. (1995): Mafic lower crustal xenoliths from the northwestern part of the Arabian Plate. European Journal of Mineralogy, 7, 217-230.
  46. Nasir, S., and Al- Fuqha, H. (1988): Spinel Iherzolite xenoliths from the Arabian volcano, NE-Jordan. Mineralogy & Peterology 38, 127-137.
  47. Nasir, S., and Mahmood, S. (1991): Oxidation of olivine in Iherzolitic xenoliths from NE-Jordan. Mu'tah Journal for Research and Studies 6, 171-182.
  48. Nasir, S., Lehlooh, A., Abu-Aljarayesh, I., and Mahmood, S., (1993): Ferric iron in upper mantle Cr-spinel: a Mossbauer spectroscopic study. Chemie der Erde 53, 265-271.
  49. Nasir, S. Abu-Aljarayesh, I. Mahmood, S. & Lehlooh A., (1992): Oxidation state of the upper mantle beneath the northwestern part of the Arabian lithosphere. Tectonophysics, 213, 359-366.
  50. Nasir, S. and A. Safarjalani .., (1995) :Tectonic Evolution of the Shamah Volcanic Field,Northwestern part of the Arabian plate (Syria and Jordan) : Megacrysts - Xenoliths-Host Basalt Relationship ,35 th -Science Week Lattakia – Syria , Book 2 , Part 2 , 321-347 p.
  51. Nasir, S., and A. Safarjalani., (2000): Lithospheric petrology beneath the northern part of the Arabian Plate in Syria: evidence from xenoliths in alkali basalts, Journal Of African Earth Sciences (30)1 pp.149-168.
  52. Nixon, P.H., (1987): African-Arabian plate,introduction,in Nixon , P . H . , ed., Mantle xenoliths:New York,John Wiley and Sons,p.187-193.
-

53. Okrusch, M. Schroeder, B. and Schnutgen, A. (1979): Granulite-facies metabasite ejecta in the Laacher Sea area, Eifel, West Germany. *Lithos*, 12, 251-270.
54. Ponikarov, V. P., (Editor), (1962): Explanatory note. Geological Map of Syria Scale 1:200,000. Moscow. Thechnexport, p.141.
55. Ponikarov, V. P., (Editor), (1967): The Geological Map of Syria Scale 1:500,000. Explanatory notes. Syrian Arab Republic, Ministry of Industry, Damascus, Syria.
56. Powell, R. (1985): Regression diagnostics and regression in geo thermo- meter, geobarometer calibration: the garnet- clinopyroxene geothermometer revisited, *Journal of Metamorphic Geology* 3 ,231-243.
57. Quennell,A.M., (1996): The Western Arabia rift system:In Dixon,J.E.and Robertson , A.H.F. , eds. ,*The Geological Evolution of the Eastern Mediterranean : Geol.Soc.Special Publ.No.17*.p.775-788.
58. Rudnick, R. L. McDonough, W.F. McCulloch, M. T. and Taylor, S. R. (1986): Lower crust xenoliths from Queensland, Australia: Evidence for deep crustal assimilation and fractionation of continental basalt. *Geochim. Cosmochim. Acta*, 50, 1099-115.
59. Rudnick, R. L. (1992): Xenoliths - Samples of the lower continental crust. in "Coninental lower crust" D. M. Fountain, R. Arculus, and R. W. Kay, eds. Elsevier, 269-316.
60. Sachtleben, T. H., and Seck, H. A. (1981): Chemical control of Al-solubility in orthopyroxene and its implications on pyroxene geothermometry. *Contributions to Mineralogy and Petrology* 78, 157-165.
61. Safarjalani, A., and S. Nasir., (1996) : Petrographical, Geochemical and Petrological Study of the Xenoliths associating the Basalt of (Southwest-Syria). Report On Scintific Field Study Department of Geology and Nuclear Ores (AECS),38 p.
62. Seber, D., Barazangi, M., Chaimov, T., Al-Saad. D., Sawaf, T. and Khaddour, M., (1993): Upper crustal velocity structure and basement motphology beneath the intercontinental Palmyride fold-thrust belt and north Arabian platform in Syria. *Geophys. J. Int.*, in press.
63. Selverstone, J. and Stern, C. (1983): Petrochemistry and recrystallization of granulite xenoliths from the Pali-Aike volcanic field, Chile. *Am. Mineral.*, 68, 1102-1112.
64. Sharkov ,E.V. Lazko, E.E., Fedosova, S.P and Khanna, S.,(1989): Deep inclusions of the Quaternary volcano Tel-Danun in southern Syria in connection with the problem of basalt magmatism .*Geochemistry* . No . 11 . p .1906-1923.
65. Snyder, G.A., Taylor, L., Jerde, E., Shrakov, Y., Lazko, Y and Hanna, S. (1995): Petrogenesis of garnet pyroxenite and spinel peridotite xenoliths of the

- Tell-Danun alkali basalt volcano, Harrat As Shamah, Syria. International Geology Review 35:1104-1120.
66. Stosch, H.G., Lugmair, G.W., Seck, H. (1986): Geochemistry of granulite-facies lower crustal xenoliths: implications for the geological history of crust, J.R. Dawson, D.A. Carswell, J.Hall & K.H. Wedepohl, eds. Geol. Soc. Special Publ., 24M, 309-317.
67. Streckeisen ,A., (1976): To each plutonic rock its proper name.Earth Science Reviews,v.12,p.1-33.
68. Sun, S.S., and McDonough, W.F., (1989): Chemical and isotopic systematics of ocean basalts : implications for mantle composition and processes. In : SAUNDERS,A.D. and NORRY,M.J.(eds):Magmatism in the Oceanic Basins . Geol . Soc . London Spec.Publ.,42.p.313-345.
69. Syada , M.G.Turkmani, A.A. and Hatom, N.,(1996): New Localities of ultrabasic und basic nodules accompanying the basalt of the Pliocene volcanic cones of southern Syria:Geol.Sci.Jour.,Syr.Geol.Soc.,v.6,p.5-20.
70. Turkmani, A.A., (1995) : New results about thermodynamic condition (Temperature - Pressure) in formation of the green series nodules in alkali rich-basalts in south Syria : Geol .Sci .Jour.,Syr.Geol.Soc.,v.5,p93-100.
71. Turkmani, A . A . , Elias , K .and Ghazal, F., (1996): Petrology of ultramafic rock of tel - Khenfee volcano(southwest Syria): Geol . Sci . Jour , Syr . Geol . Soc . ,v.9,p .29-42.
72. Wedepohl, K.H.(1975): The contribution of chemical data to assumptions about the origin of magmas from the mantle.Fortschr.Mineral.v52,p.141-172.
73. Wells, P.A. (1977): Pyroxene thermometry in simple and complex systems. Contrib. Mineral. Petrol., 62, 129-139.
74. Wilshire, H.G. and Shervais, J.W., (1975): Al-augite and Cr-diopside ultramafic xenoliths in basaltic rocks from western United States. Phys. Chem. Earth, 9:257-272.
75. Winchester,J.A and Floyd,P.A., (1976): Geochemical magma type discrimination appl.to altered and metamorphosed basic igneous rocks.-In:Earth plan.Ac.lett.-Amsterdam 28.-p.459-469.
76. Witt-Eickschen , G . and Seck , H . A . ,(1991) : Solubility of Ca and Al in orthopyroxene from spinel peridotite:an improved version of an empirical geothermometer : Contrib.Mineral.Petrol.,v.106,p.431-439
77. Wood, B.J., (1974): The solubility of alumina in orthopyroxene coexisting with garnet. Contrib. Mineral. Petrol., 46: 697-701.
78. Wood, B.J. (1987): Thermodynamics of multicomponent system containing several solid solutions. in "Thermodynamic Modelling of Geological Materials: Minerals, Fluids and Melts", Washington, D.C., 71-95.

## Petrographical and Geochemical Study of the Basic and Ultrabasic Xenoliths Associating The Quaternary Alkali Basalts of the Shamah Volcanic Fields (Southwest - Syria)

Abdulrahman Al-Safarjalani Sobhi Nasir \* Michael Mouty \*\*

King Faisal University, College of Food and Agriculture  
Al-AHasa, Kingdom of Saudi Arabia

\* Faculty of Sciences-Department of Geology-University of Qatar, Doha-Qatar.

\*\* Damascus University - Faculty of Sciences-Department of Geology  
Damascus - Syria

### Abstract :

Alkali basalt spread northeast part of Shamah volcanic field (southwest of Syria) belonging to the Neogene and Quaternary ages, which are coexisted with a great quantity of mafic and ultramafic xenoliths and megacrysts.

Field observations and data of geochemical and petrographical studies results, for xenoliths coexisted with alkali basalt spread over the northwest part of the Arabian plate (Syria) indicate availability of a proper environment where various kinds of xenoliths of lower crustal and upper mantle were formed, this indicate that these xenoliths have been formed under different thermobarometric conditions.

The study of available mineral paragenesis and geothermobarometrics on coexisting minerals suggest equilibration conditions, ranging between 6 - 8 Kbar. for pressure and 850 - 920°C for temperature, and that is for xenoliths of gabbroic nature formed in the lower crustal between 20 - 27 Km depth. With regard to the formation conditions of the xenoliths formed in the upper mantle (Pyroxenite and Lherzolite); they range between 13.5 - 14.5 Kbar. for pressure and 950 - 1060°C for temperature .